

2025年度RISTA前沿大讲堂

面向6G 的太赫兹超大规模MIMO 传输技术研究

潘存华

东南大学移动通信全国重点实验室

2025-11-23



Email: cpan@seu.edu.cn



目錄

1

太赫茲通信背景介紹

2

太赫茲信道測量

3

太赫茲近場信道自由度與稀疏陣列特性分析

4

太赫茲模塊化陣列定位方案

5

太赫茲低複雜度預編碼方案



目錄

1

太赫茲通信背景介紹

2

太赫茲信道測量

3

太赫茲近場信道自由度與稀疏陣列特性分析

4

太赫茲模塊化陣列定位方案

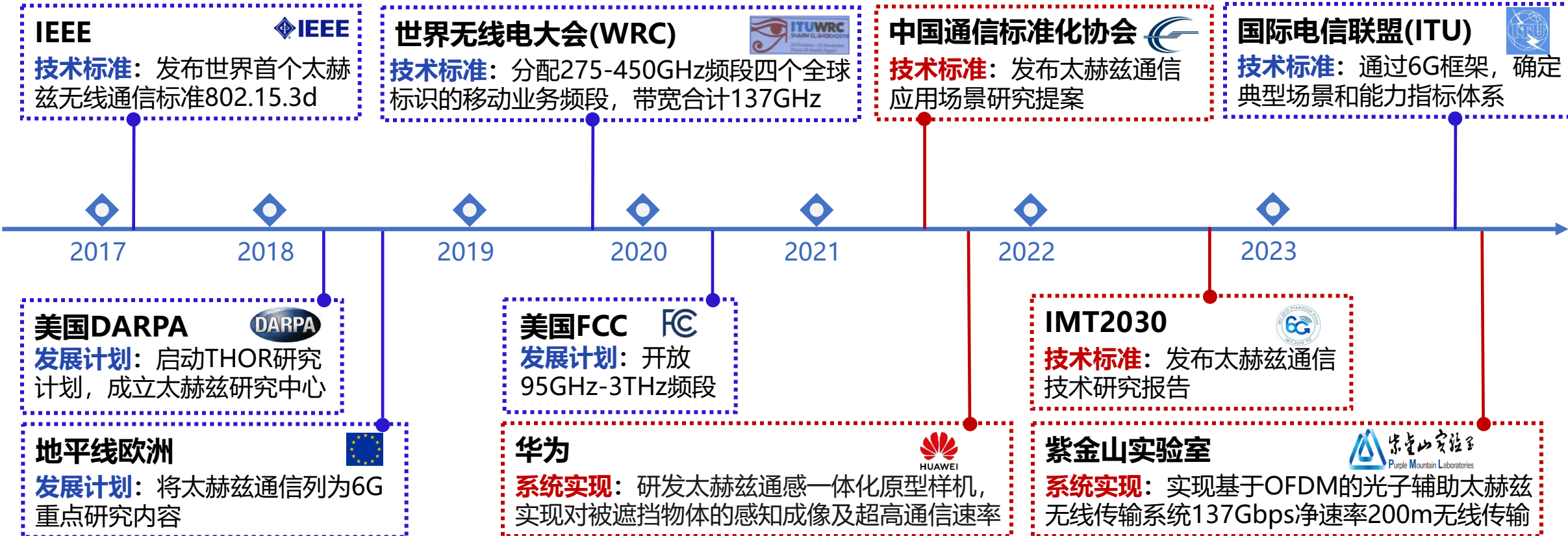
5

太赫茲低複雜度預編碼方案

太赫兹通信背景介绍

1

太赫兹通信的发展现状



学术界与产业界正开展对太赫兹的初步研究，并已公认为6G关键技术之一。

太赫兹通信背景介绍

2

太赫兹通信的优势与机遇

超宽带频谱资源

- 提供极高通信传输速率；
- 提供极高感知分辨率；
- 提供毫秒级甚至亚毫秒级低传输延迟。

亚毫米级波长

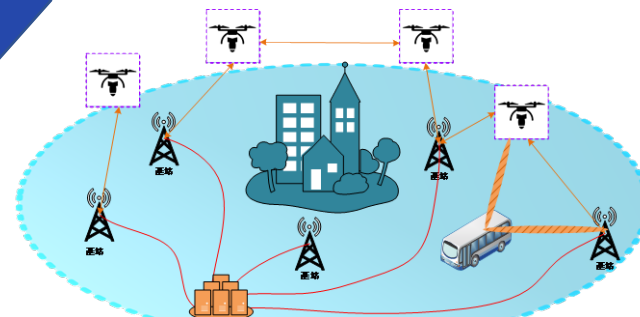
- 短波长缩短天线间距；
- 低天线间距支持超大规模MIMO阵列；
- 短波长支持窄波束传输，提高方向性。

超大规模阵列

- 大规模天线数量补偿路径损耗；
- 大规模阵列孔径提高定位感知精度。

应用场景

空天地海一体化



智能互联



智能制造



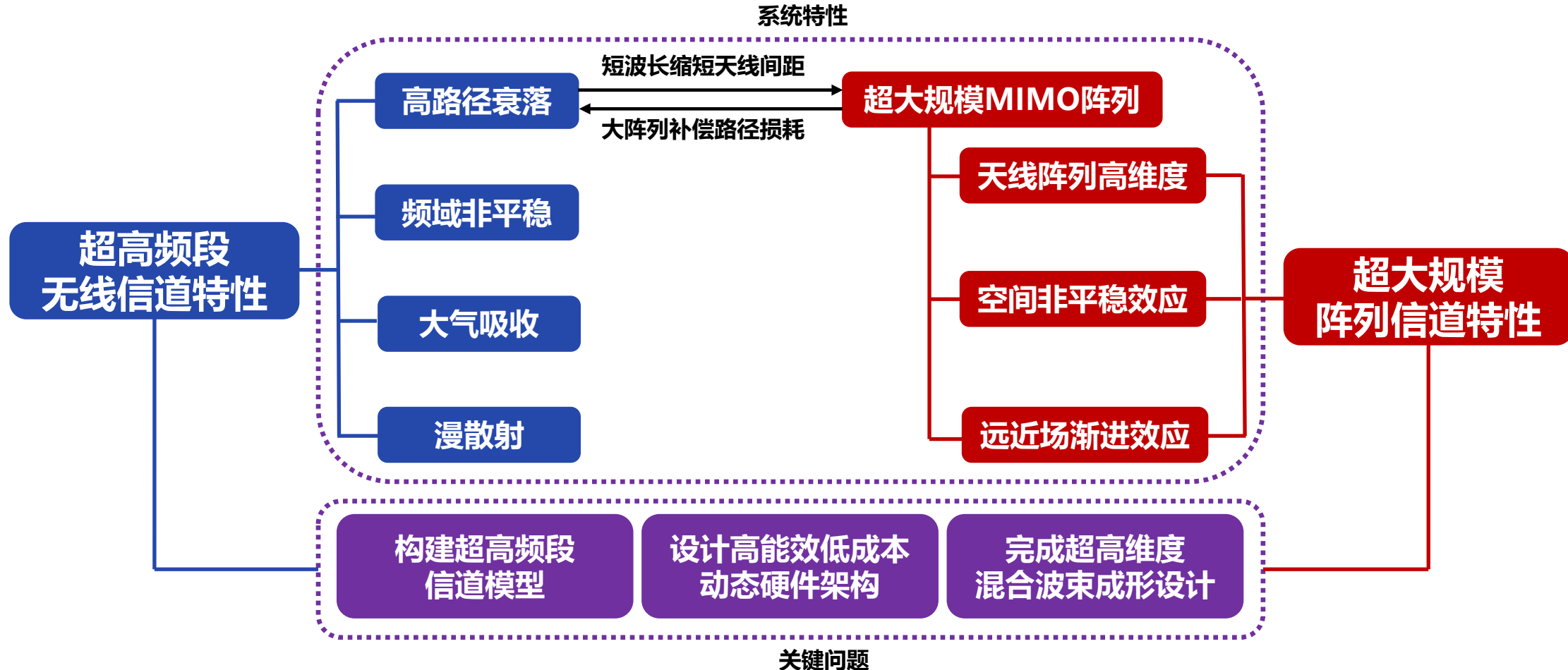
智慧城市

太赫兹超宽带、短波长的优势，可实现6G大容量、低时延、高可靠的需求。

太赫兹通信背景介绍

3

太赫兹通信的关键问题



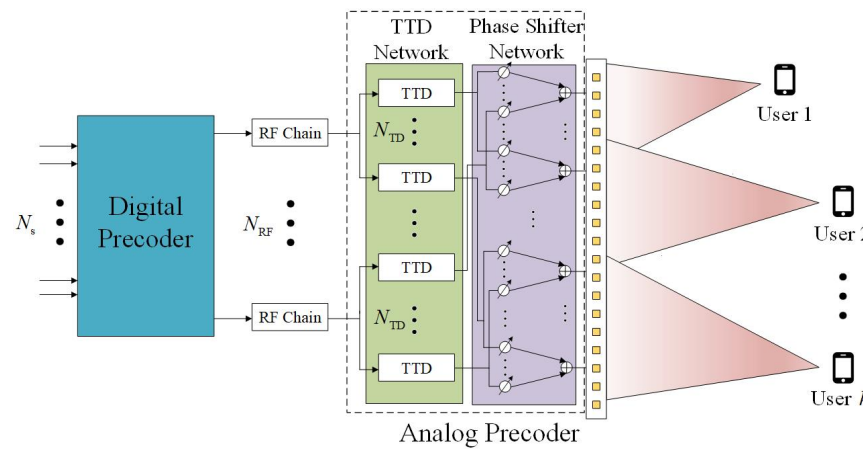
超高频段信道特性和超大规模阵列特性产生了太赫兹通信待解决的诸多关键问题。

3

太赫兹通信的关键问题：超大规模阵列及其空间非平稳性

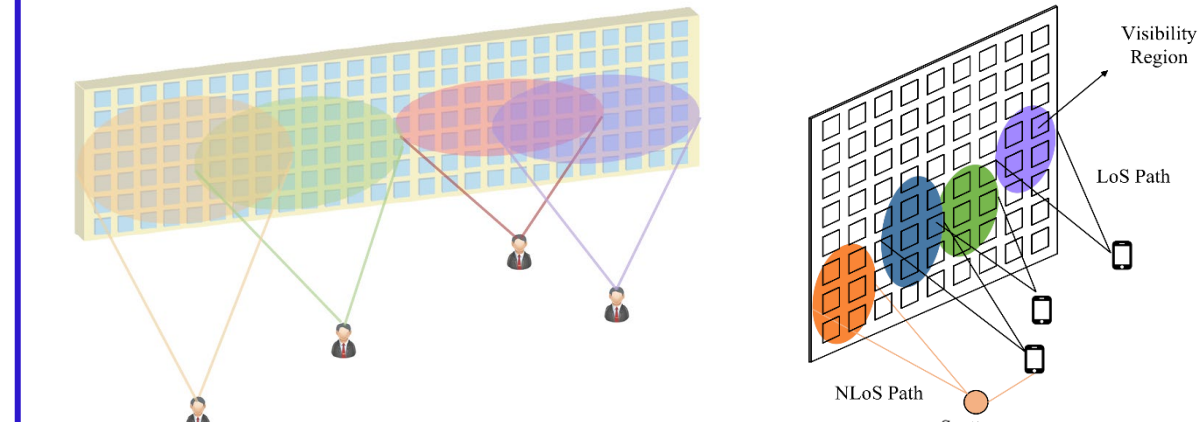
阵列高维特性

- 太赫兹短波长可缩短天线间距，实现超大规模阵列；
- 超大规模阵列使用传统方法计算复杂度高，可通过混合预编码有效降低波束成形的复杂度；
- 需进一步发掘超大规模阵列性质，有效利用信道自由度、降低计算复杂度。



空间非平稳性

- 阵列的大孔径与太赫兹的高方向性导致空间非平稳性；
- 用户仅能接收到来自超大规模阵列部分天线的信号。这部分天线称为用户的可视区域；
- 考虑空间非平稳性可降低算法复杂度、增强鲁棒性。



在太赫兹实际应用中，必须充分考虑超大规模阵列及其空间非平稳性问题。

3

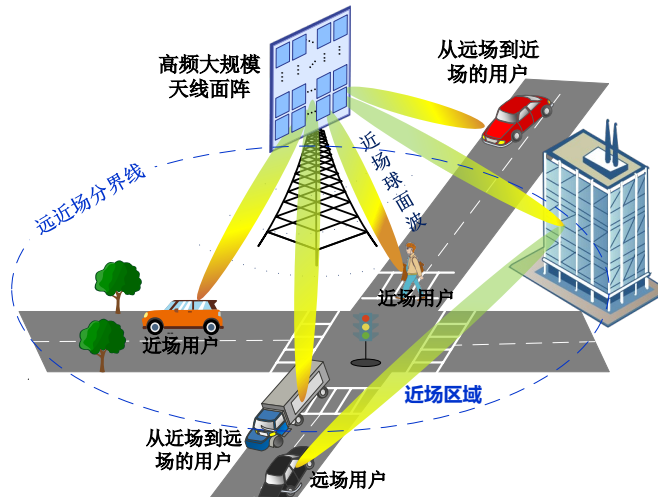
太赫兹通信的关键问题：从远场到近场的转变

从远场到近场

- 瑞利距离是判断远近场范围的临界距离； $L = \frac{2D^2}{\lambda}$
- 瑞利距离随着频段和阵列规模增大而增大；
- 在太赫兹XL-MIMO场景，用户易处于近场范围。

表 I. 瑞利距离[m]

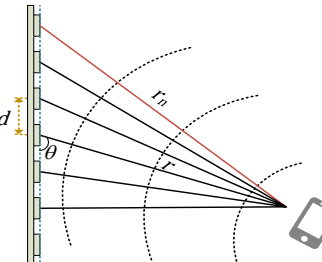
f	D	0.1m	0.5m
50 MHz	0.003	0.083	
3 GHz	0.21	5	
28 GHz	1.9	47	
60 GHz	4	100	
142GHz	9	237	



远近场传播模型对比

- 各天线到达角近似相等；
- 相位响应与天线指标呈线性关系；
- 相位响应是角度的函数。

远场平面波(PWM)模型



近场球面波(SWM)模型

- 各天线到达角不相等；
- 相位响应与天线指标呈非线性关系；
- 相位响应是角度和距离的函数。

太赫兹超大规模阵列场景近场效应明显，需要提出适应近场球面波特性的通信算法。



目錄

1

太赫茲通信背景介紹

2

太赫茲信道測量

3

太赫茲近場信道自由度與稀疏陣列特性分析

4

太赫茲模塊化陣列定位方案

5

太赫茲低複雜度預編碼方案

太赫兹信道测量

1 研究背景

3GPP TR38.901与ITU IMT2030等标准化信道模型最高只能覆盖至100 GHz频段，只考虑了sub-6 GHz 和毫米波段的特性，无法满足太赫兹频段的通信需求。

现有工作

频段: 130-300 GHz, 带宽: 集中在 20 GHz 以内;

缺乏更高频段更宽带宽的信道测量数据

简易单天线的点对点测量方式, 定向单天线等间隔旋转来分析角域信息, 忽略太赫兹频段信道的
空间特性

项目工作

高频段, 宽扫频带宽; 高硬件要求; 建立太赫兹频段的信道测量数据库

利用虚拟天线阵列(**Virtual antenna array**)方式;
关注太赫兹多天线通信的信道特性, 建立太赫兹多天线通信信道模型

- 进行太赫兹频段**260-400 GHz**的**128-antenna**虚拟多天线阵列室内信道测量
- 基于测量数据建立信道模型, 并验证模型的准确性。

太赫兹信道测量

2

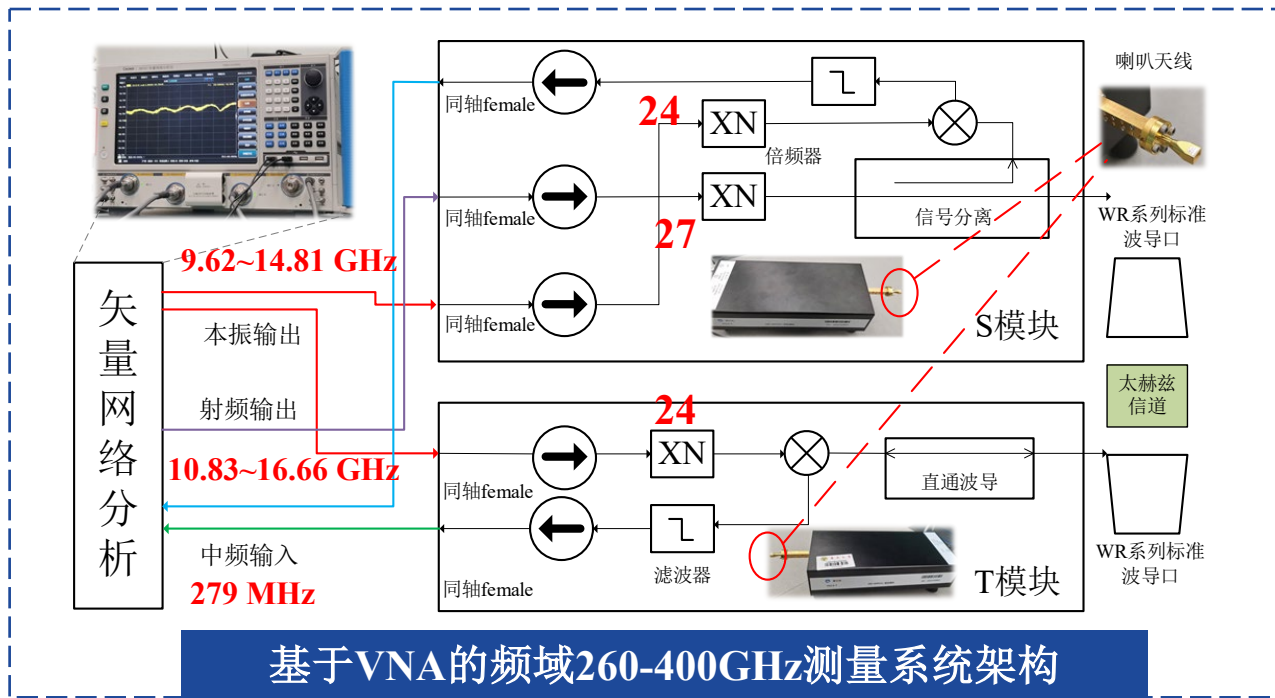
基于矢量网络分析仪扩频的频域测量系统架构

◆ 超高频虚拟多天线信道测量平台搭建

- 该测量系统由射频(RF)前端，S/T模块，矢量网络分析仪(Vector network analyzer, VNA)组成。该方案具有频率覆盖宽，幅度动态范围大的优势。
- 计算机控制步进装置以半波长位移，实现虚拟多天线阵列，128-antenna虚拟多天线阵列。
- 最大路径长度为25.71m，能够检测会议室三阶反射。

Parameter	Value	Parameter	Value
Start frequency	260 GHz	End frequency	400 GHz
Time domain resolution	7.14 ps	Bandwidth	140 GHz
Path length resolution	0.21 cm	IFBW	1 kHz
Maximum excess delay	85.71 ns	Sweeping points	12001
Maximum path length	25.71 m	Sweeping interval	11.67 MHz
Antenna gain at Tx	25 dBi	HPBW of Tx	10°
Antenna gain at Rx	25 dBi	HPBW of Rx	10°
Average noise floor	-145 dBm	Test power	0.5 mW

测量系统的参数设置



基于VNA的频域260-400GHz测量系统架构

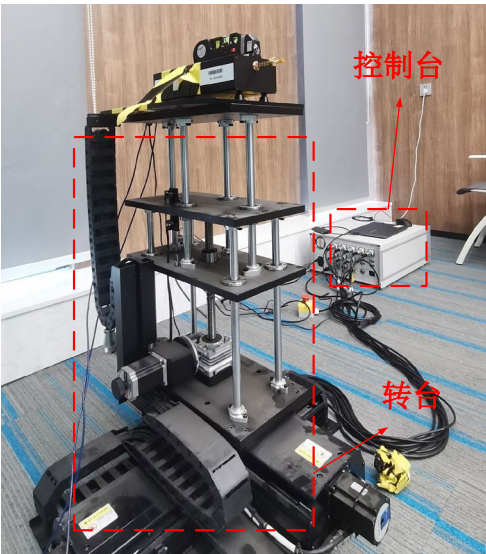
VNA首先产生窄带射频信号传输至发射端，经过27倍频扩展到260-400GHz信号。太赫兹信号经过信道到达接收端。收发两侧的太赫兹信号与24倍频本振信号混频产生279MHz的中频信号。收发两端的中频信号分别作为测试与参考中频信号输入到VNA，二者相比得到信道参数。

2

基于矢量网络分析仪扩频的频域测量系统架构

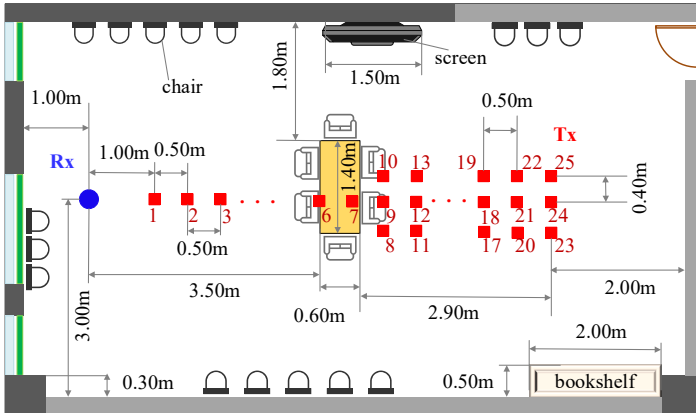
◆ 超高频虚拟多天线信道测量平台搭建

开发转台控制软件

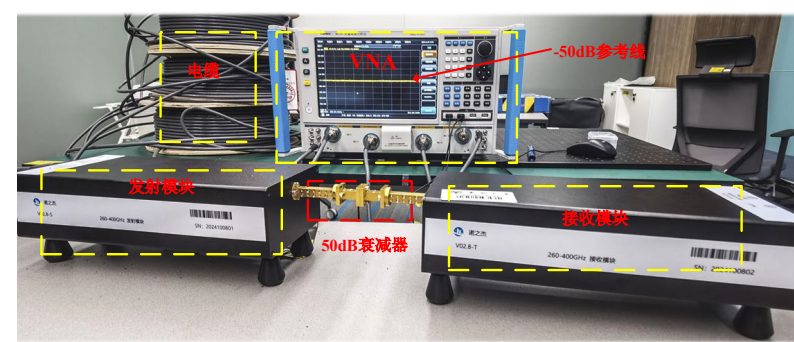


采用C#语言开发转台自动调控程序软件，能够实现以精确时间间隔精确距离来自动控制天线移动，实现128-antenna虚拟天线阵列

信道测量环境



会议室环境平面图和测量环境

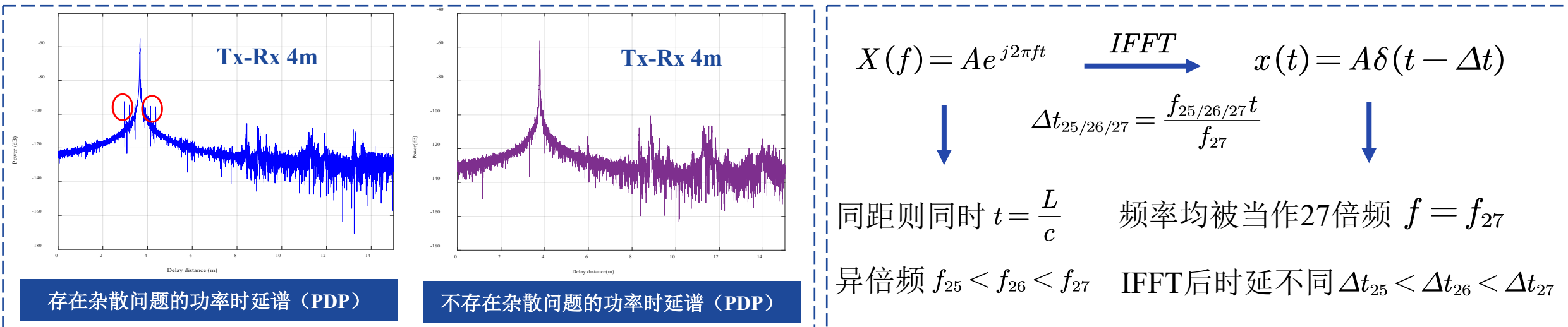


信道测量相关设备放置图和校准过程图

太赫兹信道测量

3 主径近端杂散(spurious peak)机理分析

在进行的大量测量实验中，73.2%出现杂散现象。文献[1]首次提出此问题，本研究首次给出原理解释[2]。



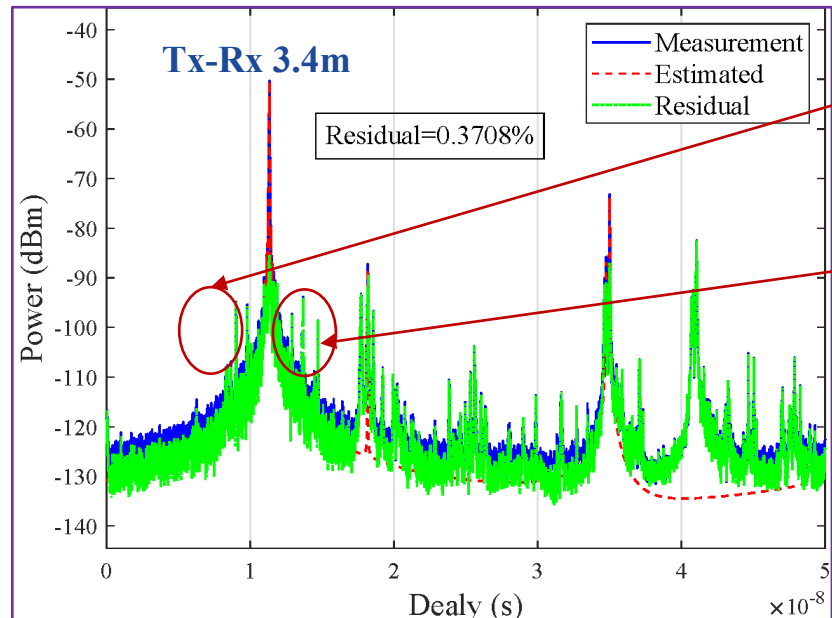
- 发射模块输出的信号包含射频输入的各次谐波，谐波信号也传输到接收天线。
- 收发端混频器的非线性性质，杂散信号也将混频到中频。由于26、25次倍频信号的频率比27次倍频信号低，同距离下，相位延迟比27次倍频信号小，而对所有被当作27次倍频信号进行IFFT，得到的传输时延偏低。同理，29、28次倍频信号会使得传输时延偏高，所以在主径时延两侧会存在毛刺。

[1] Y. Lyu, P. Kyosti, and W. Fan, "Sub-terahertz channel sounder: Review and future challenges," *China Commun.*, vol. 20, no. 6, pp. 26–48, Jun. 2023.

[2] 何永超, 张泰豪, 潘存华, 等. 室内 260-400 GHz 太赫兹大规模 MIMO 近场通信信道测量及特性分析. *中国科学: 信息科学*

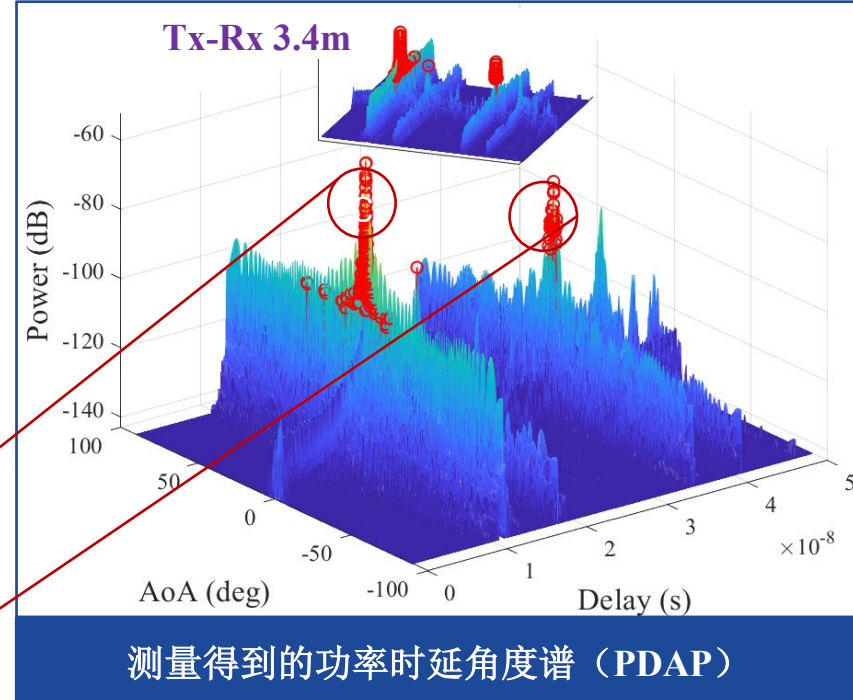
太赫兹信道测量

4 太赫兹信道多径特性



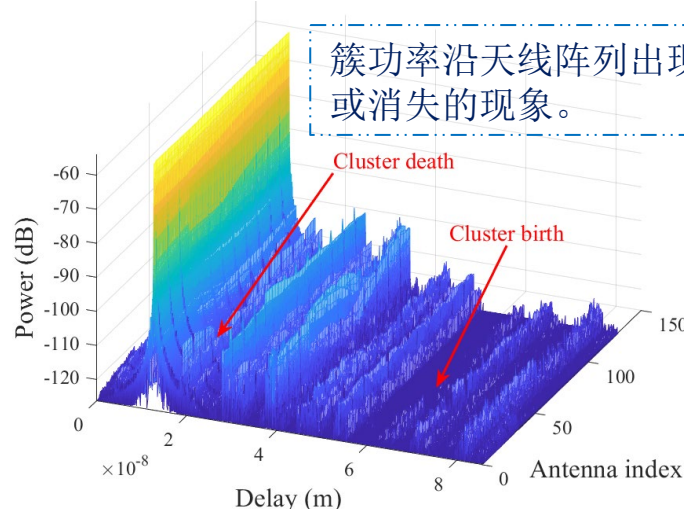
在出现主径近端杂散问题时, 由于毛刺相比于主径幅度相差30-40 dB, SAGE 算法在迭代过程中提取出主径后, 剩余毛刺因幅度过低而不会被识别, 可有效利用 SAGE 算法从信道测量数据中估计和提取有效多径。

利用 SAGE 算法提取得到的多径

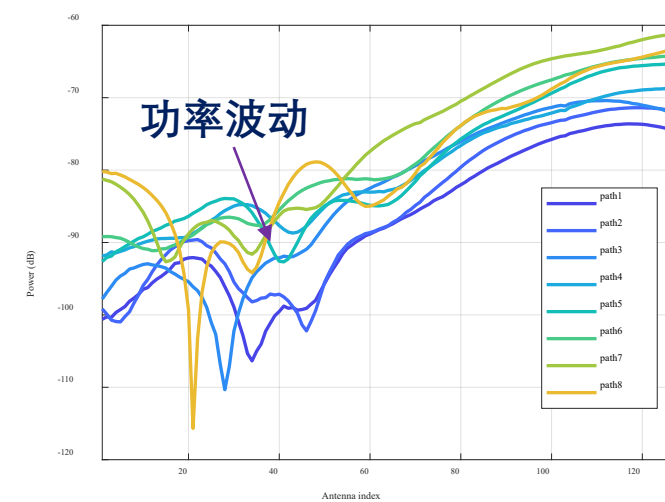


- 图中的多径分量集中在数个特定的时延和角度附近, 这表明太赫兹多径分量成簇分布且在时间和角度域中均是可分辨的。
- 该频段及场景下簇的数目较少, 两图中均只观测到少量的 NLoS 簇。太赫兹频段信道多径呈现稀疏分布和成簇分布的特点。

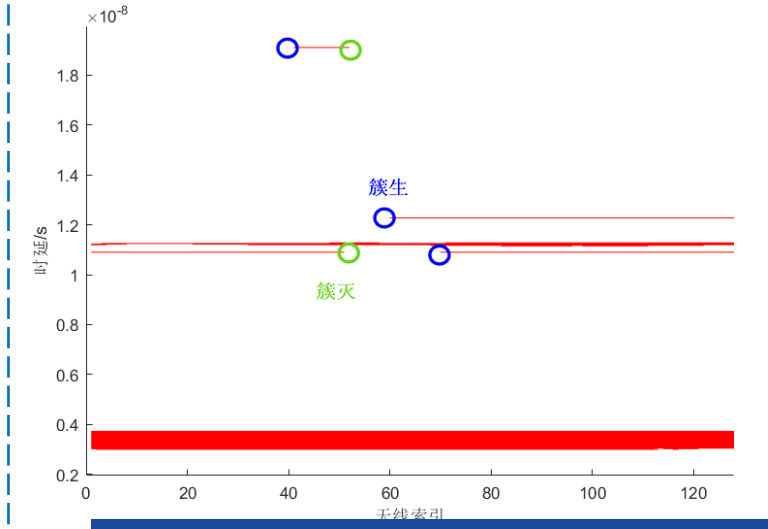
5 太赫兹信道空间非平稳特性



功率时延天线谱



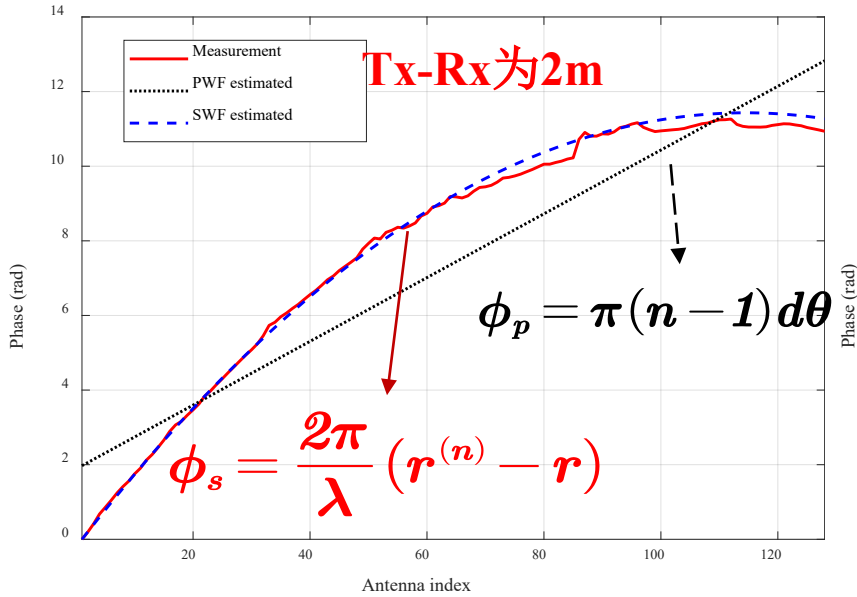
功率-天线剖面图



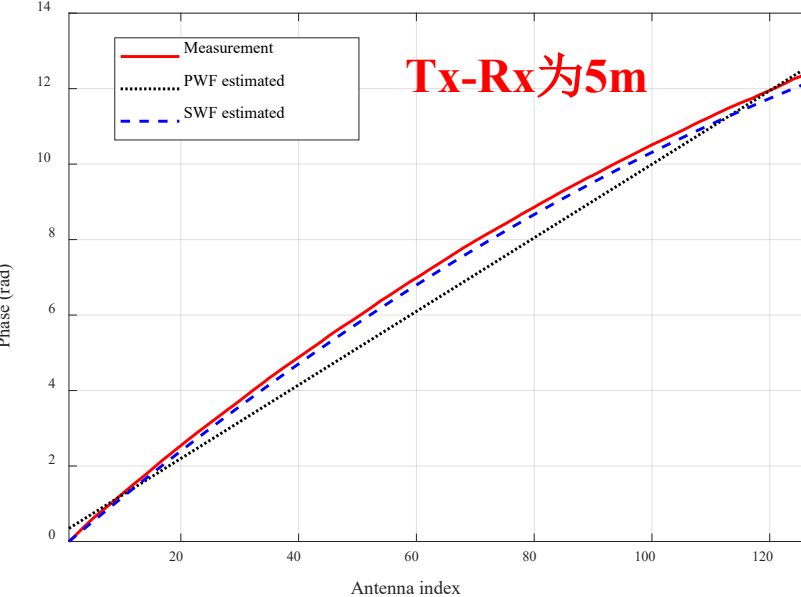
时延-天线剖面图

- 图中为收发端距离为3.4m时，功率时延天线谱、对应的功率-天线剖面展示图以及时延-天线剖面展示图。
- 簇连续分布在一部分天线阵列上，形成若干条有断点的一维线段，一维线段的起点为新簇生，线段的终点为簇灭。从图中可以观察到，NLoS 径存在明显的簇生簇灭现象，并且随着NLoS多径功率的整体衰减的影响，各个天线单元之间功率的变化起伏更加显著，簇的生灭特性也更加明显。
- 空间非平稳特性：**虚拟天线阵列上的功率变化显著，且出现明显的簇生簇灭现象。

5 太赫兹阵列近场球面波效应



天线阵列的相位变化1



天线阵列的相位变化2

天线阵列中心的径的距离

$$r(n) = \sqrt{r^2 + \delta_n^2 d^2 - 2r\delta_n d\theta}$$

$$\delta_n = \frac{2n - N - 1}{2}$$

$$\theta = 2 \frac{d}{\lambda} \cos(\alpha)$$

瑞利距离 $d_{Rayleigh} = \frac{2D^2}{\lambda}$

- 计算得到该天线阵列瑞利距离约为7.45 m, 所以整个会议室都处于近场范围内。收发端距离较近, 球面波的特点更加明显; 随着收发端距离增加, 测量值曲线与SWF 估计值曲线的曲率变小。
- 近场效应:** 天线阵列上的多径相位表现出非线性演化趋势, 与球面波函数拟合良好。



目錄

1

太赫茲通信背景介紹

2

太赫茲信道測量

3

太赫茲近場信道自由度與稀疏陣列特性分析

4

太赫茲模塊化陣列定位方案

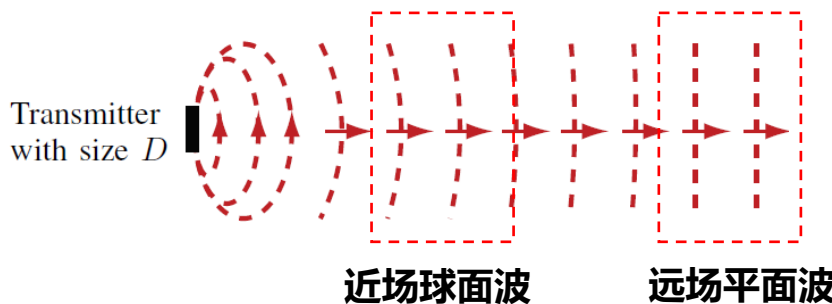
5

太赫茲低複雜度預編碼方案

1 背景介绍与工作贡献

背景介绍

超大规模MIMO是未来6G研究的关键技术之一，其将通信系统的工作环境从远场推向了近场。



球面波使得信号的空间角度（发射角/到达角）在整个XL-MIMO阵列上变化，使得有效自由度（EDoF）提升，信道容量也随之提升，这引起了学术界的广泛关注。

现有工作 —— 提升EDoF

- 增加天线数目
- 减小发射阵列与接收阵列的距离

EDoF的提升有限



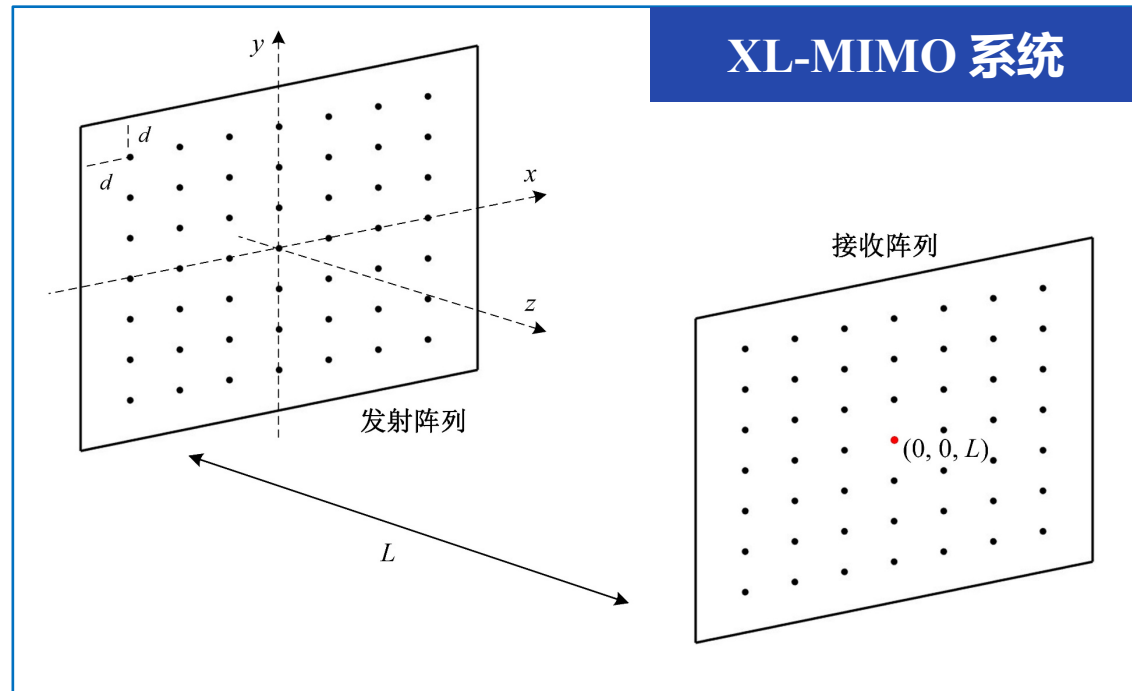
提升EDoF非常有效

我们的工作

考虑通过增加阵列天线间距来提升EDoF

工作贡献

1. 研究了阵列天线间距变化对EDoF的影响，发现增大天线间距可以大幅提高EDoF
2. 将阵列增益与EDoF相联系，发现与聚焦天线位置最近的天线处的阵列增益最小时即是EDoF最大时
3. 推导了EDoF最大时阵列天线间距阈值的闭式表达式
4. 获得了精确且低复杂度的有效自由度位置函数



$N = N_S = N_R$ —— 发射天线/接收天线数目

d —— 天线间距

L —— 发射阵列与接收阵列中心距离

■ 我们采用基于格林函数的信道模型，该模型源自标量亥姆霍兹波动方程，能够准确刻画近场球面波前特性。

■ 基于格林函数的信道模型

接收端的接收信号

$$\mathbf{f} = \boxed{\mathbf{G}\mathbf{s} + \mathbf{n}} \quad \text{信道矩阵}$$

信道系数 g_{ij} —— 从 \mathbf{r}_{Sj} 到 \mathbf{r}_{Ri} 的格林函数

$$[\mathbf{G}]_{ij} = g_{ij} = G(\mathbf{r}_{Ri}; \mathbf{r}_{Sj}) = -\frac{\exp(ik|\mathbf{r}_{Ri} - \mathbf{r}_{Sj}|)}{4\pi|\mathbf{r}_{Ri} - \mathbf{r}_{Sj}|}$$

麦克斯韦方程

$$\left\{ \begin{array}{l} \nabla \cdot \mathbf{E} = \frac{\rho}{\epsilon_0} \\ \nabla \times \mathbf{E} = -\frac{\partial \mathbf{B}}{\partial t} \\ \nabla \cdot \mathbf{B} = 0 \\ \nabla \times \mathbf{B} = \mu_0 \mathbf{J} + \mu_0 \epsilon_0 \frac{\partial \mathbf{E}}{\partial t} \end{array} \right.$$

亥姆霍兹波动方程

$$\nabla^2 E(\mathbf{r}) + k^2 E(\mathbf{r}) = J(\mathbf{r})$$

格林函数

$$G(\mathbf{r}; \mathbf{r}') = -\frac{\exp(ik|\mathbf{r} - \mathbf{r}'|)}{4\pi|\mathbf{r} - \mathbf{r}'|}$$

3 信道容量与EDoF计算

信道容量表达式

信道容量

$$C = \log_2 \left(\det \left(\mathbf{I}_{N_{\text{R}}} + \frac{P}{\sigma_{\text{n}}^2 N_{\text{S}}} \mathbf{G} \mathbf{G}^H \right) \right) = \sum_{i=1}^{n_{\text{DoF}}} \log_2 \left(1 + \frac{P \mu_i^2}{\sigma_{\text{n}}^2 N_{\text{S}}} \right) \approx \sum_{i=1}^{n_{\text{EDoF}}} \log_2 \left(1 + \frac{P \mu_i^2}{\sigma_{\text{n}}^2 N_{\text{S}}} \right)$$

发射总功率 P $\mathbf{G} \mathbf{G}^H$ 的秩 n_{DoF} 较大特征值的数目 n_{EDoF}

GG^H 第i大的特征值 μ_i

计算EDoF的方法: 直接法+两种估计方法

直接法

$$n_{\text{EDoF}} = \operatorname{argmin}_n \left\{ f(n) = \sum_{i=1}^n \mu_i^2 \mid \frac{f(n)}{\sum_{i=1}^{n_{\text{DoF}}} \mu_i^2} \geq 99.9\% \right\}$$

直接法最准确

但是 没有闭式表达式且计算复杂度高

估计方法1

接收阵列的面积

$$n_{\text{EDoF1}} = \frac{A_{\text{S}} A_{\text{R}}}{\lambda^2 L^2}$$

简洁的闭式表达式
但 准确度有限

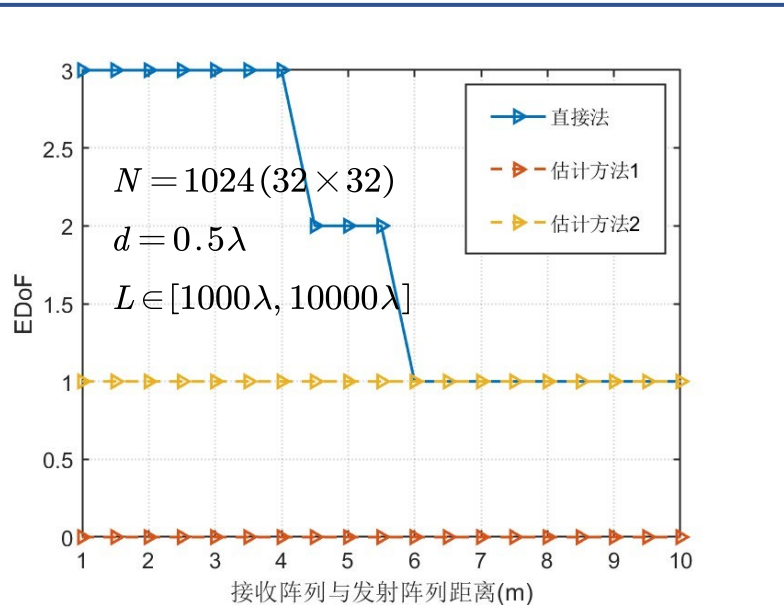
估计方法2

$$n_{\text{EDoF2}} = \left(\frac{\operatorname{tr}(\mathbf{G} \mathbf{G}^H)}{\|\mathbf{G} \mathbf{G}^H\|_{\text{F}}} \right)^2$$

闭式表达式, 准确度较方法1好
但 计算复杂度高

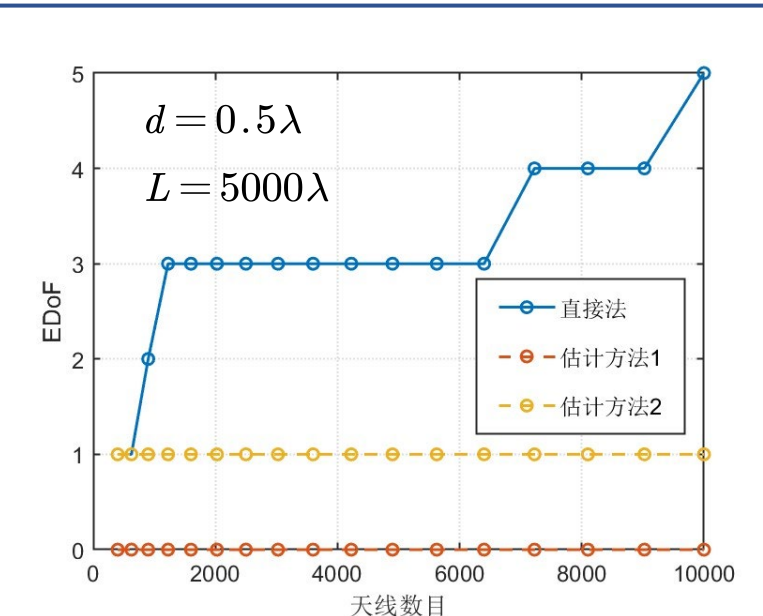
4

系统参数对EDoF影响



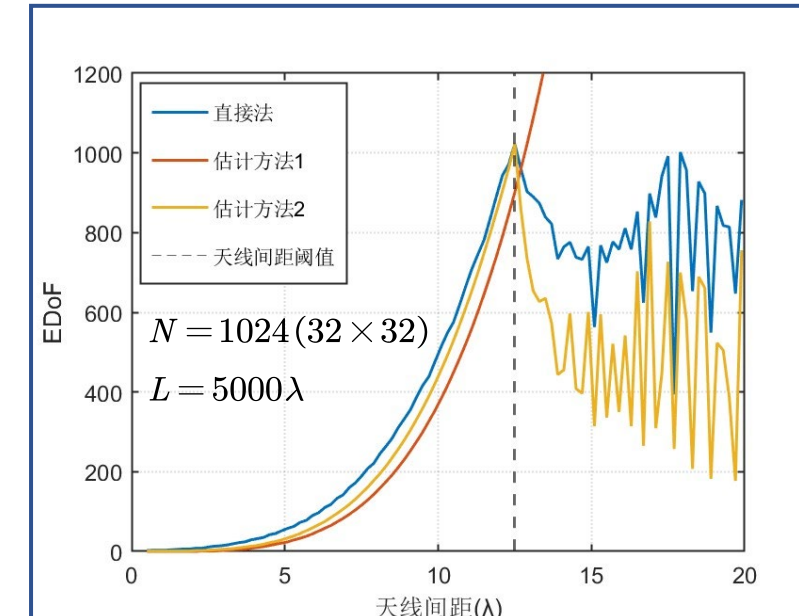
有效自由度随阵列中心距离的变化

- 半波长阵列下，有效自由度偏低，信道复用增益受限，需要优化系统参数提升有效自由度；



有效自由度随天线数目的变化

- 半波长阵列下，单纯依赖天线数量的增加，对有效自由度的提升效果非常有限；



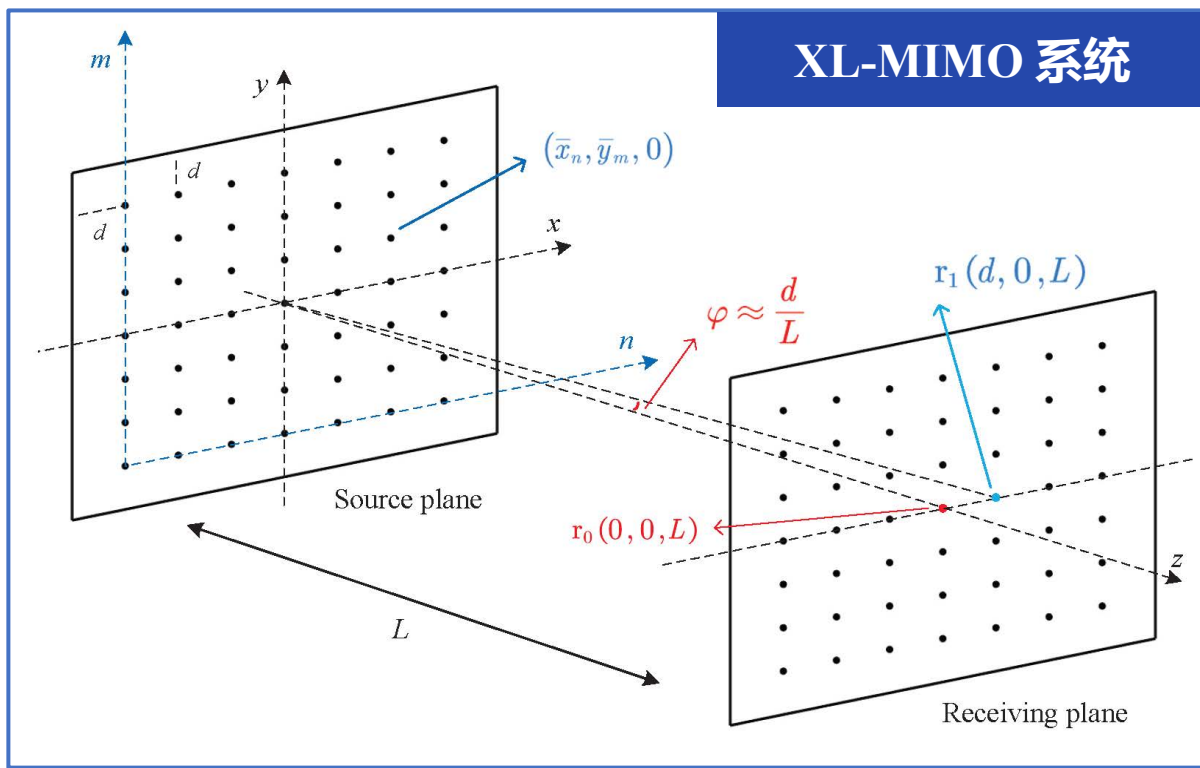
有效自由度随天线数目的变化

- 增加天线间距，有效自由度显著增加；有效自由度最大时的天线间距称为天线间距阈值；

$$\lambda = 0.001 \text{ m (300 GHz)} \quad \text{直接法} \quad n_{\text{EDoF}} = \operatorname{argmin}_n \left\{ f(n) = \sum_{i=1}^n \mu_i^2 \mid \frac{f(n)}{\sum_{i=1}^n \mu_i^2} \geq 99.9\% \right\}$$

$$\text{估计方法1} \quad n_{\text{EDoF1}} = \frac{A_{\text{S}} A_{\text{R}}}{\lambda^2 L^2}$$

$$\text{估计方法2} \quad n_{\text{EDoF2}} = \left(\frac{\operatorname{tr}(\mathbf{G} \mathbf{G}^H)}{\|\mathbf{G} \mathbf{G}^H\|_{\text{F}}} \right)^2$$



$N_s = N_r = N$ —— 发射与接收天线数量

d —— UPA的天线间距

L —— 发射阵列与接收阵列之间的距离

\mathbf{r}_0 —— 聚焦天线

\mathbf{r}_1 —— 距离聚焦天线位置最近的接收天线

■ 从阵列增益的角度思考

\mathbf{r}_0 处的阵列增益

$$\rho_0 \triangleq \frac{1}{N} \left| \sum_{n=1}^{\sqrt{N}} \sum_{m=1}^{\sqrt{N}} e^{i \frac{2\pi}{\lambda} \sqrt{\bar{x}_n^2 + \bar{y}_m^2 + L^2}} e^{i \theta_{n,m}^0} \right|^2$$

$\theta_{n,m}^0$ —— 施加在天线 (n,m) 上的相移

相移(发射阵列聚焦于 \mathbf{r}_0)

$$\theta_{n,m}^0 = -\frac{2\pi}{\lambda} \sqrt{\bar{x}_n^2 + \bar{y}_m^2 + L^2}$$

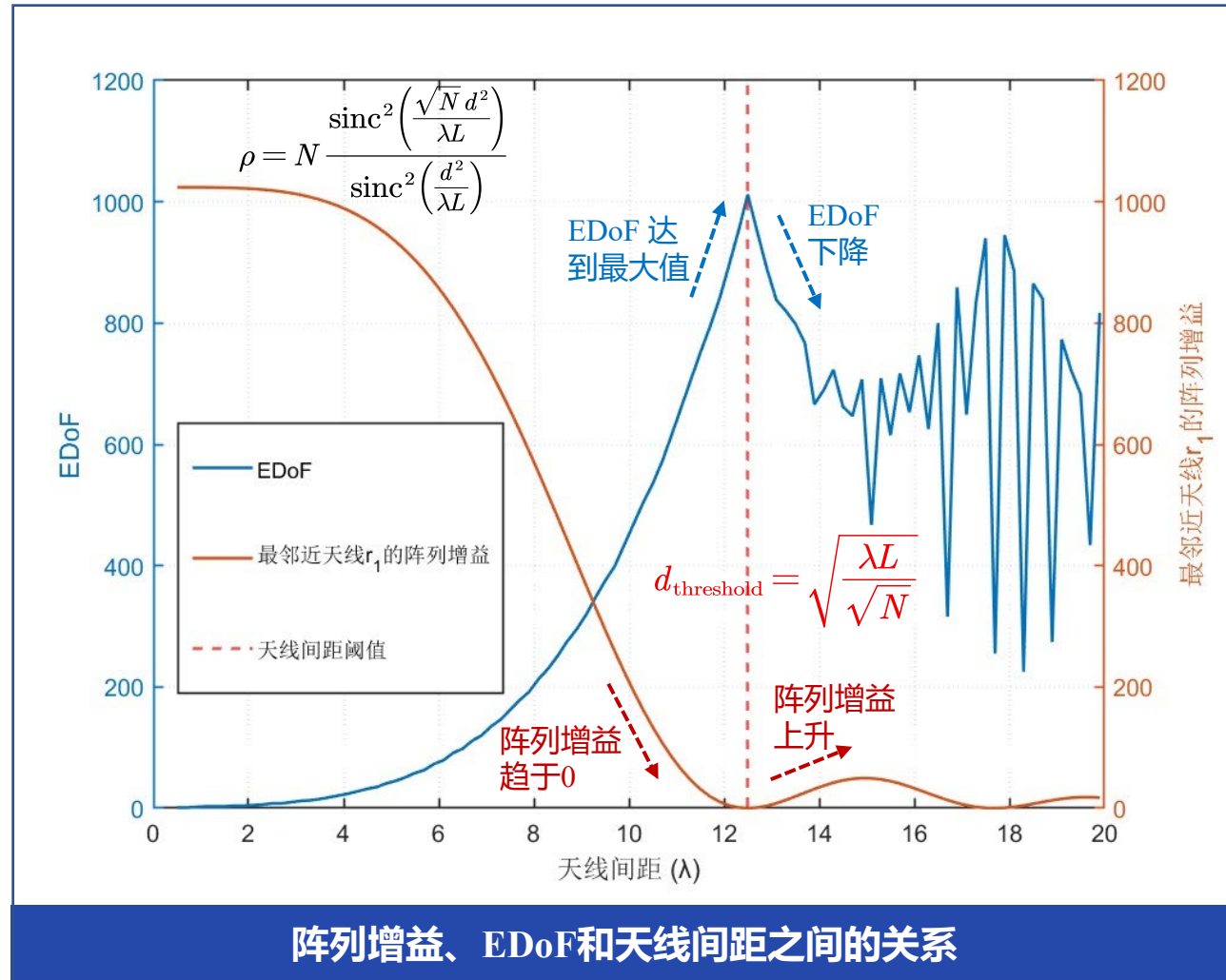
■ 天线间距阈值

\mathbf{r}_1 处的阵列增益

$$\rho_1 \approx N \frac{\operatorname{sinc}^2\left(\frac{\sqrt{N} d^2}{\lambda L}\right)}{\operatorname{sinc}^2\left(\frac{d^2}{\lambda L}\right)}$$

当距离聚焦天线 \mathbf{r}_0 处位置最近的接收天线 \mathbf{r}_1 所收到的阵列增益最小时, EDoF最大化。

$$\frac{\sqrt{N} d^2}{\lambda L} = 1 \Rightarrow d_{\text{threshold}} = \sqrt{\frac{\lambda L}{\sqrt{N}}}$$



■ EDoF分析

- 验证了天线间距到达阈值时，与聚焦天线 r_1 位置最近的天线 r_1 处的阵列增益最小化同时 EDoF最大化
- 在天线间距阈值之前，有效自由度随天线间距快速增加；在阈值之后，有效自由度大幅度波动；
- 很好地解释了天线间距阈值之后 EDoF 下降的原因（最邻近天线 r_1 处的阵列增益上升）

$$N = 1024 (32 \times 32), L = 5000\lambda$$

■ 通过函数拟合获取有效自由度函数

系统参数 $N = 1024 (32 \times 32)$, $\lambda = 0.001 \text{m}$ (300 GHz)

$$L \in [1000\lambda, 6000\lambda] = [1 \text{m}, 6 \text{m}]$$

对应天线间距阈值 $d_{\text{threshold}} \in [5.6\lambda, 13.7\lambda]$

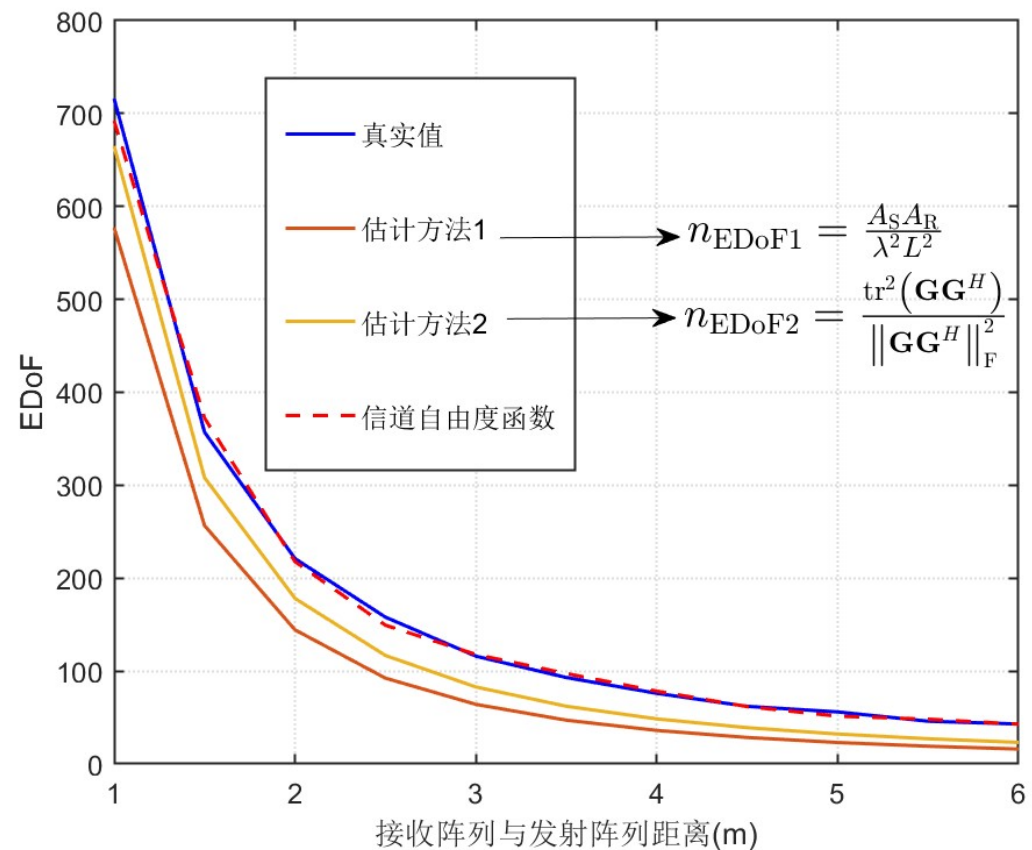
拟合条件 $d < d_{\text{threshold}} \Rightarrow d < 5.6\lambda$

有效自由度函数 ($d = 5\lambda$)

$$f_{\text{EDoF}}(\theta, L) = \sum_{\substack{i+j \leq 5, \\ i, j \geq 0}} p_{ij} (\cos \theta)^i \left(\frac{L}{\lambda}\right)^j$$

拟合归一化均方误差 $\text{NMSE} = 1.8 \times 10^{-3}$

$i \setminus j$	0	1	2	3	4	5
0	569.6	-0.9864	6.686×10^{-4}	-2.122×10^{-7}	3.156×10^{-11}	-1.776×10^{-15}
1	1909	-1.748	6.407×10^{-4}	-1.037×10^{-7}	6.182×10^{-12}	—
2	-272.3	0.08288	-2.12×10^{-5}	1.404×10^{-9}	—	—
3	314.2	0.008201	2.081×10^{-6}	—	—	—
4	-314.8	-0.01186	—	—	—	—
5	129.7	—	—	—	—	—



有效自由度随阵列中心距离的变化

■ 相比现有的有效自由度估计方法，项目的有效自由度函数能够更精确地描述有效自由度随目标位置的分布规律

1 背景介绍与工作贡献

背景介绍

前面的工作表明：增加阵列天线间距（即使用稀疏阵列）可以有效提升EDoF



进一步研究稀疏阵列的近场性质： 1. 距离聚焦特性； 2. 近场栅瓣特性

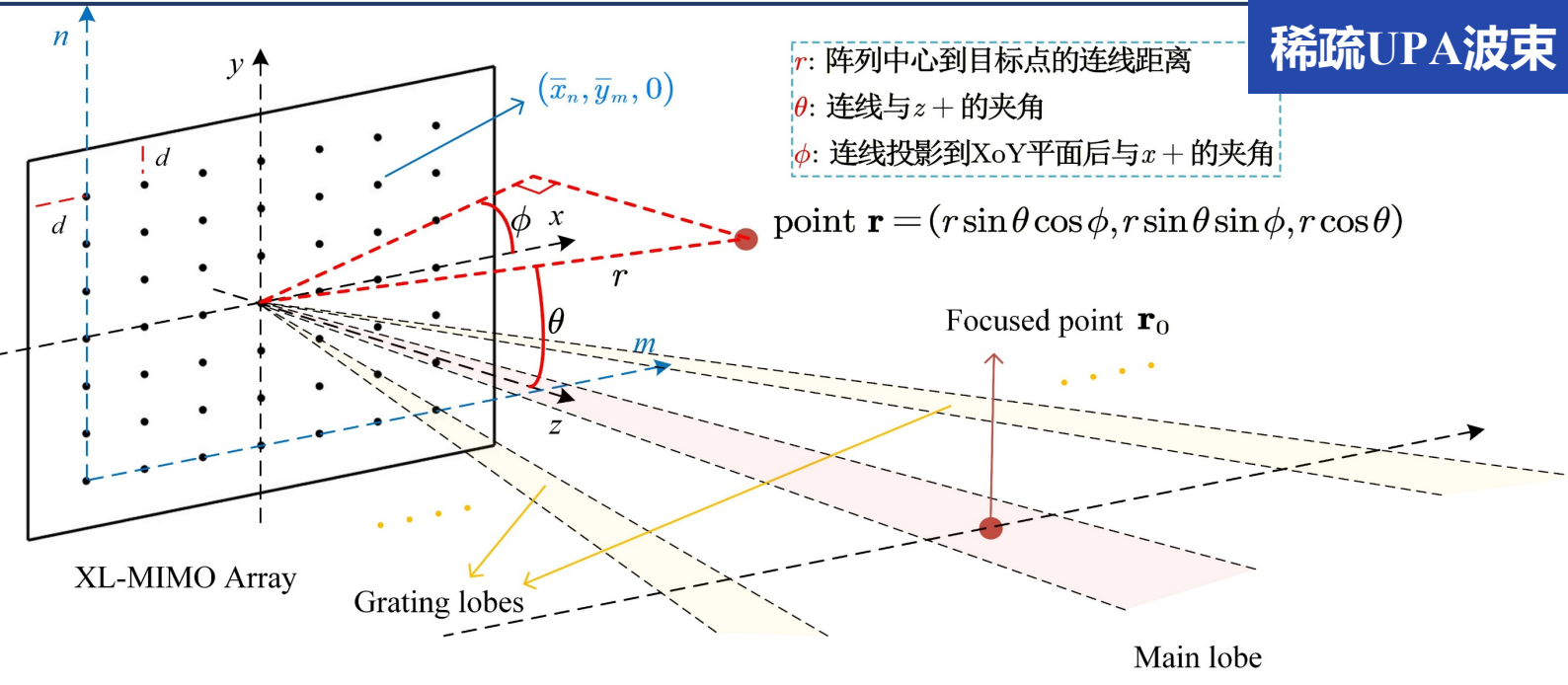
工作贡献

1. 在稀疏UPA下，推导了波束能量随径向距离变化的闭式表达式
2. 分析了近场UPA阵列的距离聚焦特性，给出了具有该特性的阵列的系统参数的所需条件
3. 在稀疏UPA下，推导了波束能量随角度变化的闭式表达式
4. 推导了栅瓣与主瓣能量之比的闭式表达式，发现了稀疏UPA在近场下具有栅瓣抑制特性
5. 发现通过增大天线间距可以对大部分栅瓣产生有效抑制，同时推导给出了能量最大栅瓣对应的位置

太赫兹近场稀疏阵列特性分析

2

系统模型



坐标表示

波束聚焦点坐标

$$\mathbf{r}_0 = \begin{bmatrix} r_0 \sin \theta_0 \cos \phi_0 \\ r_0 \sin \theta_0 \sin \phi_0 \\ r_0 \cos \theta_0 \end{bmatrix}$$

任意点坐标

$$\mathbf{r} = \begin{bmatrix} r \sin \theta \cos \phi \\ r \sin \theta \sin \phi \\ r \cos \theta \end{bmatrix}$$

r : 阵列中心到目标点的连线距离
 θ : 连线与 $z+$ 的夹角
 ϕ : 连线投影到 XoY 平面后与 $x+$ 的夹角

波束赋形下到达任意位置的信号

$$f = \sqrt{P} \sum_{m=-\frac{M-1}{2}}^{\frac{M-1}{2}} \sum_{n=-\frac{N-1}{2}}^{\frac{N-1}{2}} (w_{m,n}^0)^* h_{m,n} s$$

$$h_{m,n} = \frac{1}{4\pi r_{m,n}} e^{-j\frac{2\pi}{\lambda} r_{m,n}} \approx \frac{1}{4\pi r} e^{-j\frac{2\pi}{\lambda} r_{m,n}}$$

$$w_{m,n}^0 = \frac{1}{\sqrt{MN}} e^{-j\frac{2\pi}{\lambda} r_{m,n}^0}$$

信道系数（任意位置）

波束赋形向量系数（聚焦位置）

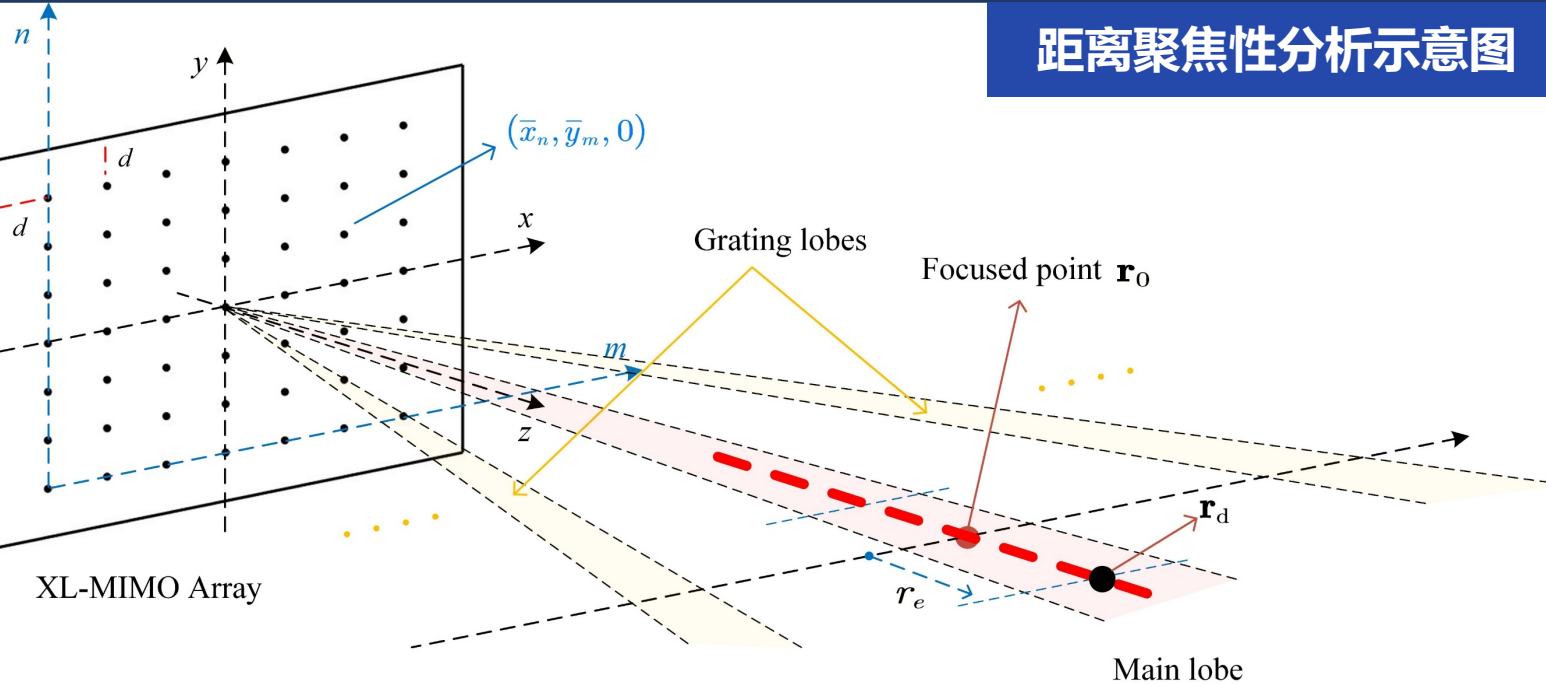
距离基于泰勒二阶近似

$$r_{m,n} \approx r - dm \sin \theta \cos \phi - dn \sin \theta \sin \phi + \frac{d^2 m^2}{2r} (\cos^2 \theta + \sin^2 \theta \sin^2 \phi) + \frac{d^2 n^2}{2r} (\cos^2 \theta + \sin^2 \theta \cos^2 \phi)$$

太赫兹近场稀疏阵列特性分析

2

距离聚焦性分析1



径向上任意点坐标表示

$$\mathbf{r}_d = \begin{bmatrix} r \sin \theta_0 \cos \phi_0 \\ r \sin \theta_0 \sin \phi_0 \\ r \cos \theta_0 \end{bmatrix}, r = r_0 + r_e$$

径向波束信号及能量

$$f_d = \sqrt{P} \sum_{m=-\frac{M-1}{2}}^{\frac{M-1}{2}} \sum_{n=-\frac{N-1}{2}}^{\frac{N-1}{2}} (w_{m,n}^0)^* h_{m,n}^d s$$

波束能量 $P_d \approx \frac{MNP}{(4\pi(r_0 + r_e))^2} \rho_d$

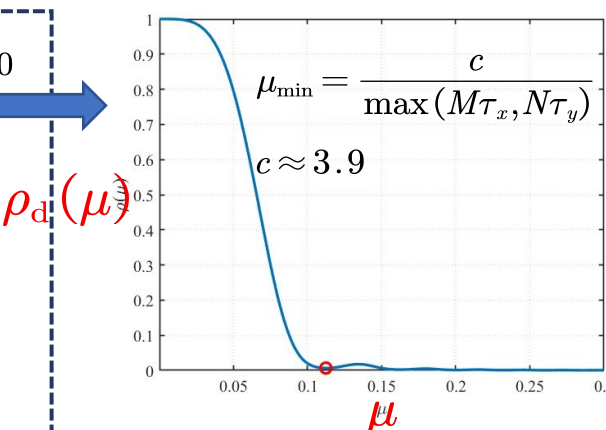
$$\rho_d = \begin{cases} \frac{1}{(b_M)^2} \frac{1}{(b_N)^2} (C^2(b_M) + S^2(b_M)) (C^2(b_N) + S^2(b_N)), & \mu > 0 \\ 1, & \mu = 0 \end{cases}$$

$$b_M = \frac{M-1}{2} \tau_x \mu, \quad b_N = \frac{N-1}{2} \tau_y \mu$$

$$\tau_x = \sqrt{(\cos^2 \theta_0 + \sin^2 \theta_0 \sin^2 \phi_0)}, \quad \tau_y = \sqrt{(\cos^2 \theta_0 + \sin^2 \theta_0 \cos^2 \phi_0)}$$

$$\mu = d \sqrt{\frac{2}{\lambda} \left| \frac{r_e}{r_0(r_0 + r_e)} \right|}$$

参数



功率在径向上聚集在聚焦点附近，
体现近场稀疏阵列的距离聚焦性

太赫兹近场稀疏阵列特性分析

3 距离聚焦性分析2

波束能量边界对应的距离位置

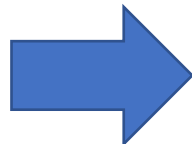
$$\mu_{\min} = d \sqrt{\frac{2}{\lambda} \left| \frac{r_e}{r_0(r_0 + r_e)} \right|} \quad \rightarrow \quad r_{e,+} = \frac{\lambda \mu_{\min}^2 r_0^2}{2d^2 - \lambda \mu_{\min}^2 r_0}, \quad r_{e,-} = \frac{-\lambda \mu_{\min}^2 r_0^2}{2d^2 + \lambda \mu_{\min}^2 r_0}$$

波束能量长度

$$r_{\text{length}} = r_{e+} - r_{e-} = \frac{4\lambda \mu_{\min}^2 r_0^2 d^2}{(2d^2 - \lambda \mu_{\min}^2 r_0)(2d^2 + \lambda \mu_{\min}^2 r_0)} \quad \text{—— 衡量距离聚焦性能力大小}$$

距离聚焦性条件

$$\begin{cases} r_{e,+} = \frac{\lambda \mu_{\min}^2 r_0^2}{2d^2 - \lambda \mu_{\min}^2 r_0} > 0 \\ \mu_{\min} = \frac{c}{\max(M\tau_x, N\tau_y)}, \quad c \approx 3.9 \end{cases}$$



天线间距要求

$$\frac{d}{\lambda} > \frac{c}{\max(M\tau_x, N\tau_y)} \sqrt{\frac{r_0}{2\lambda}}$$

天线数要求

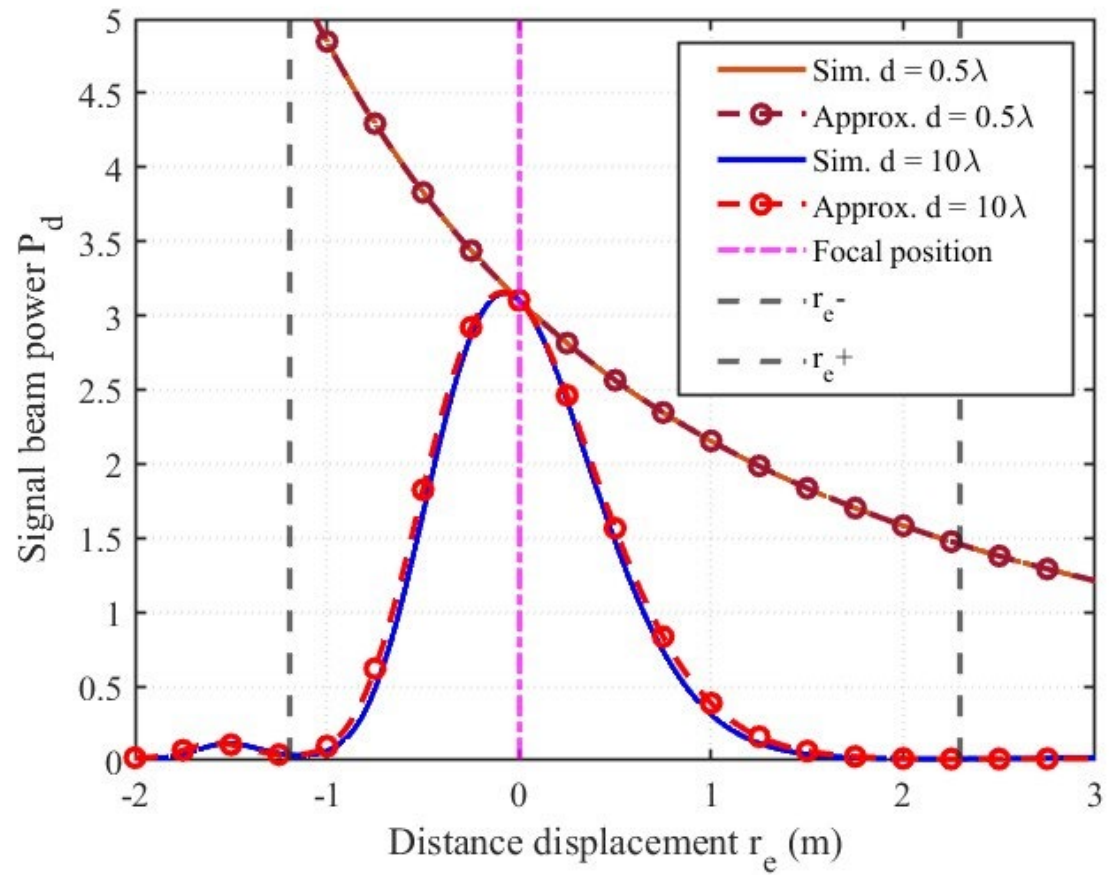
$$\max(M\tau_x, N\tau_y) > \frac{c}{d} \sqrt{\frac{\lambda r_0}{2}} = \frac{\lambda}{2d} c \sqrt{\frac{2r_0}{\lambda}}$$

距离要求

$$r_0 < \frac{2d^2 (\max(M\tau_x, N\tau_y))^2}{c^2 \lambda} \approx \frac{r_F}{c^2} \triangleq r_{\text{RRD}}$$

瑞丽距离 $r_F = \frac{2D^2}{\lambda} \approx \frac{2d^2 (\max(M\tau_x, N\tau_y))^2}{\lambda}$

4 距离聚焦性仿真结果

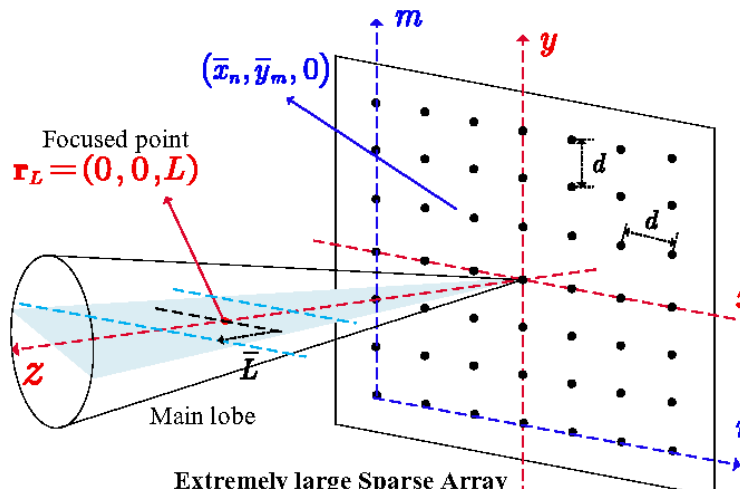


波束能量随径向距离的变化

■ 结果分析

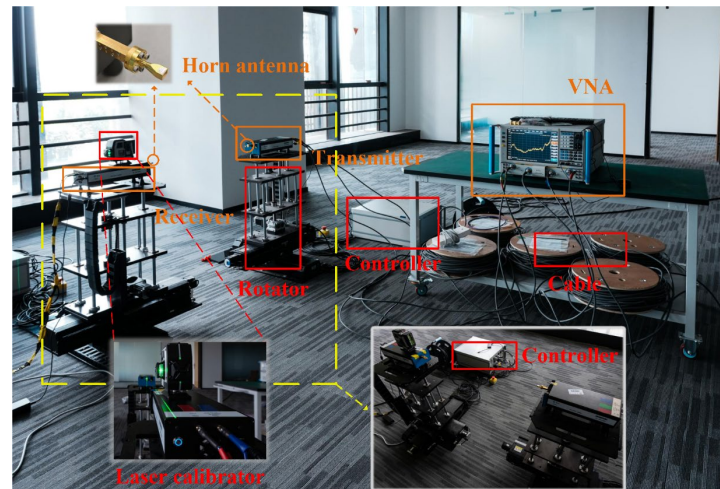
- 传统密集阵列 ($d = 0.5\lambda$) 无距离聚焦性, 波束能量随距离增加而减小
- 稀疏阵列 ($d = 10\lambda$) 体现出明显的距离聚焦性, 即径向上的波束能量集中在聚焦点附近
- 增加天线间距能有效提升阵列距离聚焦性

5 距离聚焦性测量结果1



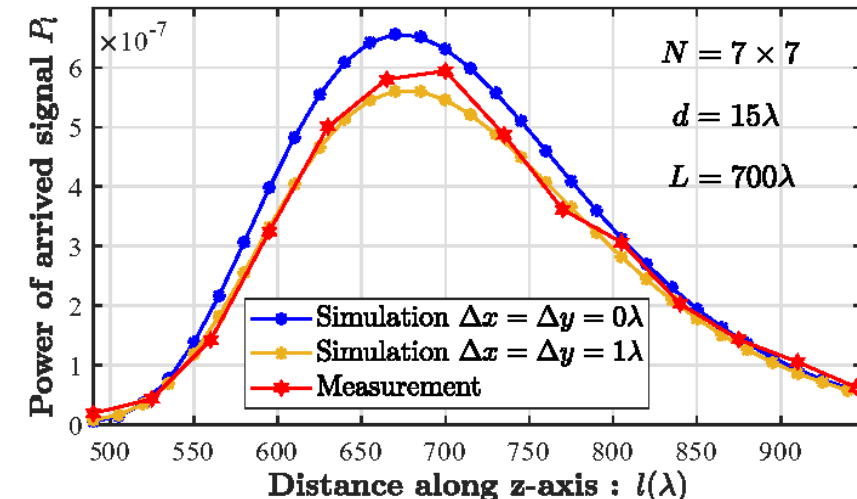
$$P_l = \beta_l \left| \sum_{n=1}^{\sqrt{N}} \sum_{m=1}^{\sqrt{N}} e^{i \frac{2\pi}{\lambda} D_{n,m}^l} e^{i \varphi_{n,m}^l} \right|^2$$

UPA稀疏阵列系统模型



$$\text{PL [dB]} = 10 \cdot \text{PLE} \cdot \lg \left(\frac{l}{d_0} \right) + \text{FSPL}(d_0) + X_{\sigma}$$

实验验证测试环境图



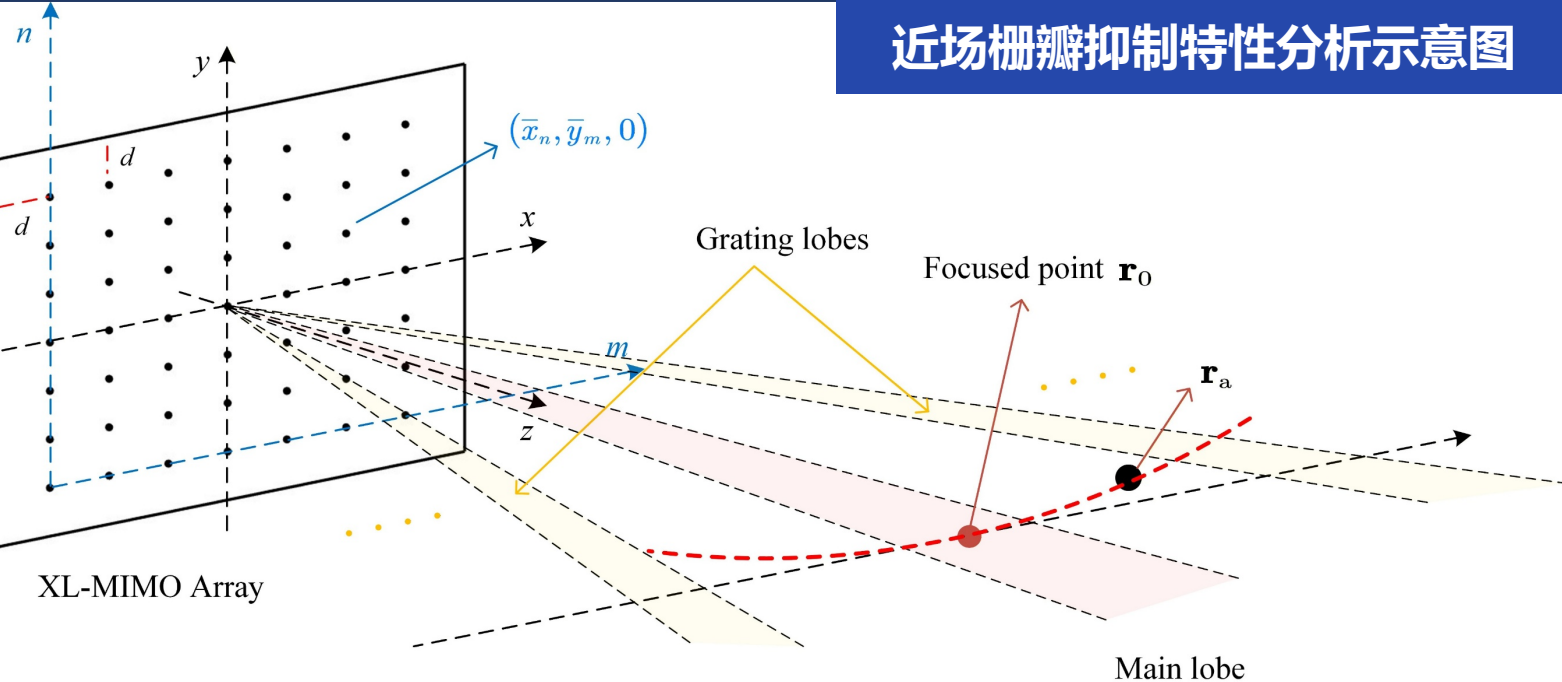
Δx 和 Δy 分别表示发射端中心天线单元在水平方向和垂直方向上的位置偏移

沿 z 轴方向的接收信号功率分布

- Tx 和 Rx 口径中心通过激光校准器实现精确对准。系统工作在 300 GHz 频率下，Tx 部署了一个由 $N = 7 \times 7$ 个天线单元组成的 UPA，天线间距设置为 15λ ，聚焦点固定在 $(0, 0, 700\lambda)$ ，以确保其处于近场区域内。
- 测量结果呈现出明显的空间功率聚焦效应，与理论预测高度吻合，验证了所提稀疏阵列近场模型的有效性。

太赫兹近场稀疏阵列特性分析

7 近场栅瓣抑制特性分析1



球面上任意点 (距离相等, 角度不同)

坐标 $\mathbf{r}_a = \begin{bmatrix} r_0 \sin \theta \cos \phi \\ r_0 \sin \theta \sin \phi \\ r_0 \cos \theta \end{bmatrix}$

信号 $f_a = \sqrt{P} \sum_{m=-\frac{M-1}{2}}^{\frac{M-1}{2}} \sum_{n=-\frac{N-1}{2}}^{\frac{N-1}{2}} (w_{m,n}^0)^* h_{m,n}^a s$

取XoZ平面来分析栅瓣, 即 $\phi = \phi_0 = 0$

主瓣和栅瓣位置

$$\theta'_k = \arcsin \left(\sin \theta_0 + \frac{k\lambda}{d} \right), \quad k = 0, \pm 1, \pm 2, \dots$$

$$k \in \left[\left(-1 - \sin \theta_0 \right) \frac{d}{\lambda}, \left(1 - \sin \theta_0 \right) \frac{d}{\lambda} \right]$$

分段函数表示
信号波束功率

$$P_{a,\theta} = \frac{NP}{M(4\pi r_0)^2} \frac{1}{4a_{x,\theta}} \left((C(u_{1,x,\theta}) + C(u_{2,x,\theta}))^2 + (S(u_{1,x,\theta}) + S(u_{2,x,\theta}))^2 \right)$$

$$u_{1,x,\theta} = \sqrt{|a_{x,\theta}|} (M-1) + \frac{b_{x,\theta}}{\sqrt{|a_{x,\theta}|}}, \quad u_{2,x,\theta} = \sqrt{|a_{x,\theta}|} (M-1) - \frac{b_{x,\theta}}{\sqrt{|a_{x,\theta}|}}$$

$$a_{x,\theta} = \frac{d^2}{2r_0 \lambda} (\cos^2 \theta_0 - \cos^2 \theta), \quad b_{x,\theta} = \left\{ \left(\theta, \frac{d}{\lambda} (\sin \theta - \sin \theta'_k) \right) \mid \theta \in I_k \right\}$$

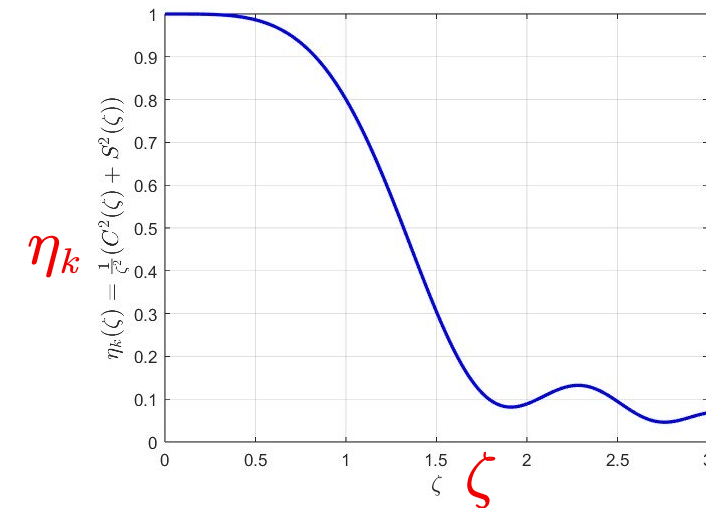
$$I_k = \begin{cases} \left[-\frac{\pi}{2}, \frac{\theta'_k + \theta'_{k+1}}{2} \right], & k = \left\lceil \left(-1 - \sin \theta_0 \right) \frac{d}{\lambda} \right\rceil \\ \left[\frac{\theta'_{k-1} + \theta'_k}{2}, \frac{\pi}{2} \right], & k = \left\lfloor \left(1 - \sin \theta_0 \right) \frac{d}{\lambda} \right\rfloor \\ \left[\frac{\theta'_{k-1} + \theta'_k}{2}, \frac{\theta'_k + \theta'_{k+1}}{2} \right], & k = \text{else} \end{cases}$$

8 近场栅瓣抑制特性分析2

栅瓣、主瓣能量抑制比

抑制比 $\eta_k = \frac{P_{a,\theta}(\theta'_k)}{P_{a,\theta}(\theta_0)} \approx \frac{1}{\zeta^2} (C^2(\zeta) + S^2(\zeta)), \quad \zeta = (M-1) \sqrt{\frac{1}{r_0} \left| dk \sin \theta_0 + \frac{1}{2} k^2 \lambda \right|}$

导数 $\frac{d}{d\zeta} \eta_k = \frac{2}{\zeta^2} \left[-\frac{1}{\zeta} (C^2(\zeta) + S^2(\zeta)) + C(\zeta) \cos\left(\frac{\pi \zeta^2}{2}\right) + S(\zeta) \sin\left(\frac{\pi \zeta^2}{2}\right) \right]$



$$\lim_{\zeta \rightarrow 0} \eta_k = 1$$

ζ 趋于0时, 能量抑制比为1, 即栅瓣和主瓣有同样的能量

ζ 趋于0的两种情况

$$\zeta = (M-1) \sqrt{\frac{1}{r_0} \left| dk \sin \theta_0 + \frac{1}{2} k^2 \lambda \right|}$$

远场

$$\frac{1}{r_0} \rightarrow 0 \implies r_0 \rightarrow \infty$$

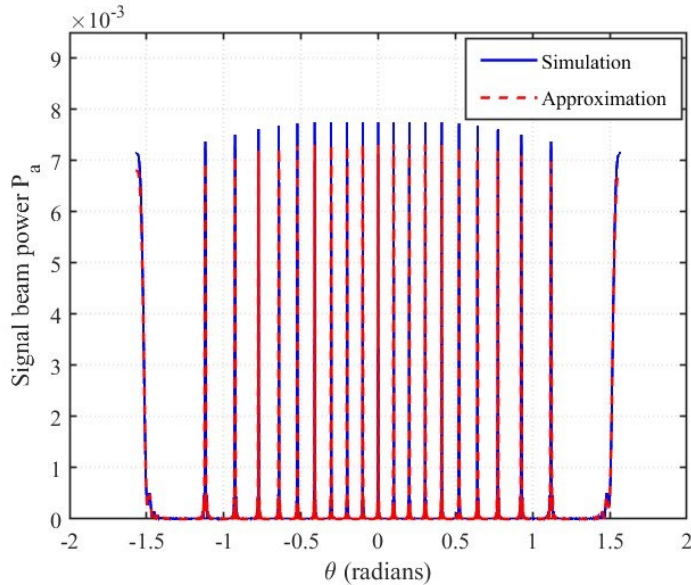
特定位置的栅瓣

$$dk \sin \theta_0 + \frac{1}{2} k^2 \lambda \rightarrow 0$$

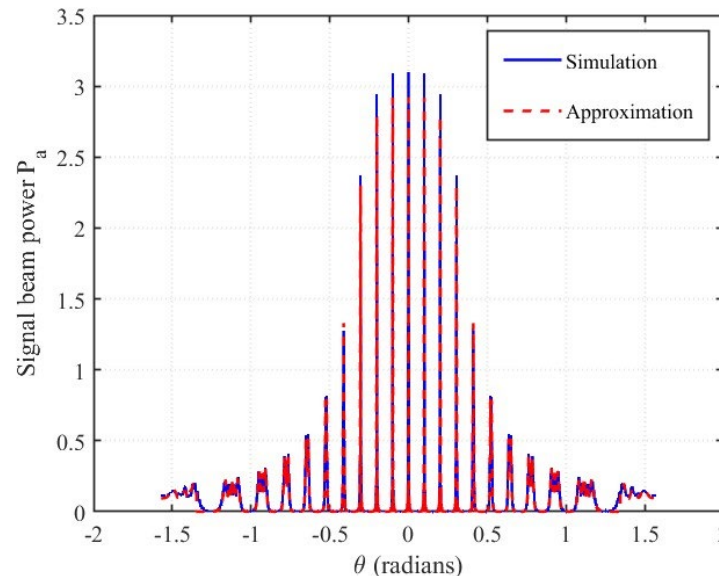
$$\Rightarrow k = \left\lfloor -2 \frac{d}{\lambda} \sin \theta_0 \right\rfloor \text{ or } \left\lfloor -2 \frac{d}{\lambda} \sin \theta_0 \right\rfloor + 1$$

其他位置的栅瓣
可以通过增大天
线间距进行抑制

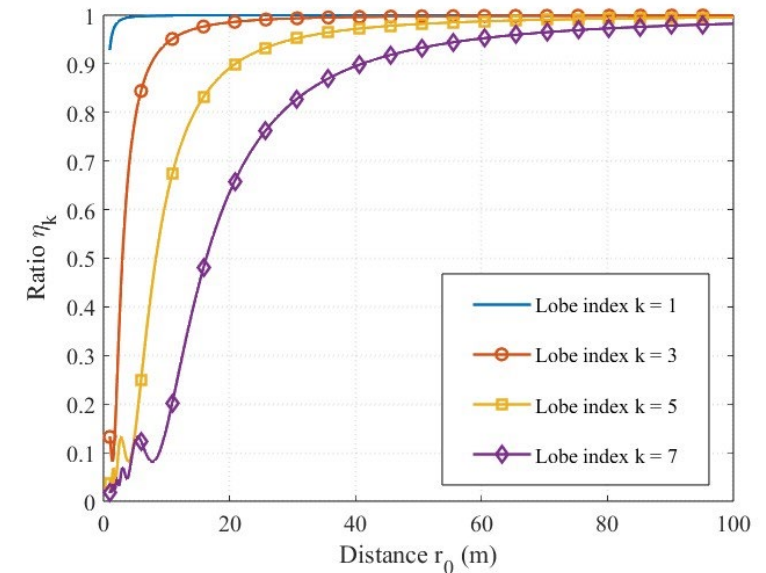
9 近场栅瓣抑制特性仿真结果1



远场 (100m) 主瓣与栅瓣能量

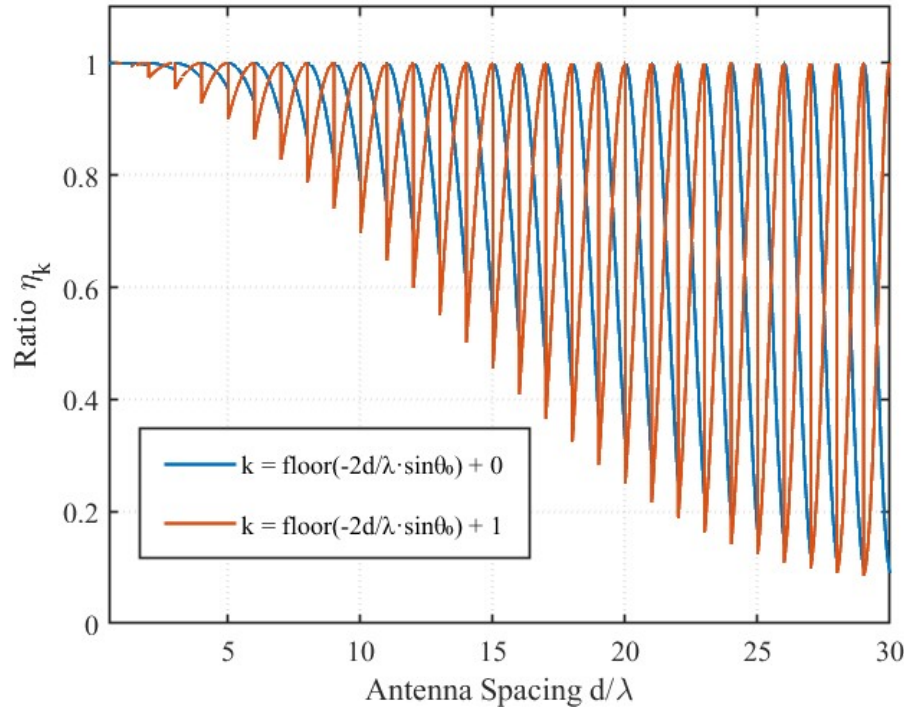


近场 (5m) 主瓣与栅瓣能量

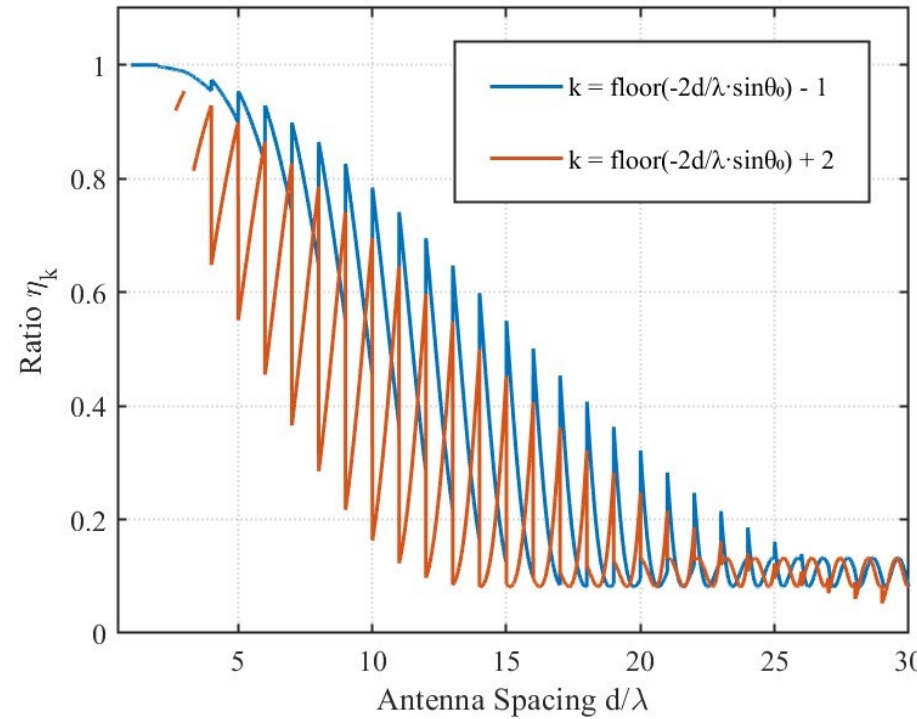


栅瓣能量抑制比随距离变化

- 远场处栅瓣与主瓣能量相当
- 近场处大多数栅瓣受到了明显的抑制效果
- 随着距离减小，栅瓣抑制比减小，近场稀疏阵列展现出近场栅瓣抑制特性



最强栅瓣能量与天线间距的关系



次强栅瓣能量与天线间距的关系

- 随着天线间距的增加，最强栅瓣能量会周期性的与主瓣相当
- 随着天线间距的增加，次强栅瓣能量可以通过增加天线间距来有效抑制
- 大部分栅瓣可以通过增加天线间距来抑制，体现了稀疏阵列的近场栅瓣抑制特性



目录

1

太赫兹通信背景介绍

2

太赫兹信道测量

3

太赫兹近场信道自由度与稀疏阵列特性分析

4

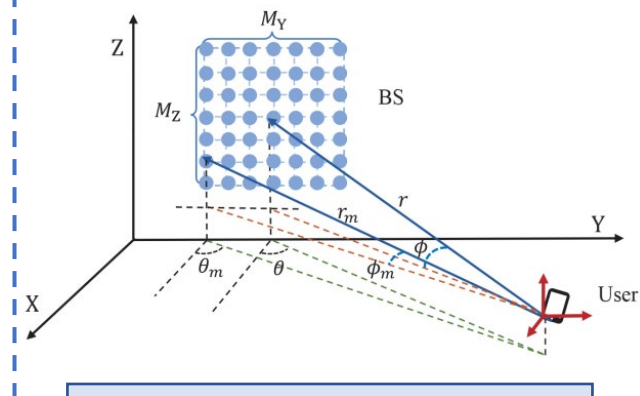
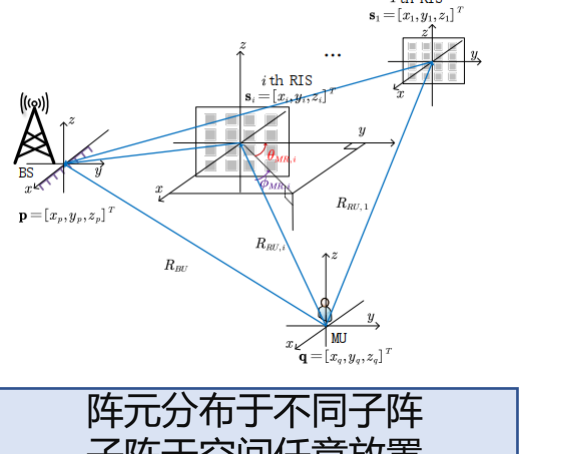
太赫兹模块化阵列定位方案

5

太赫兹低复杂度预编码方案

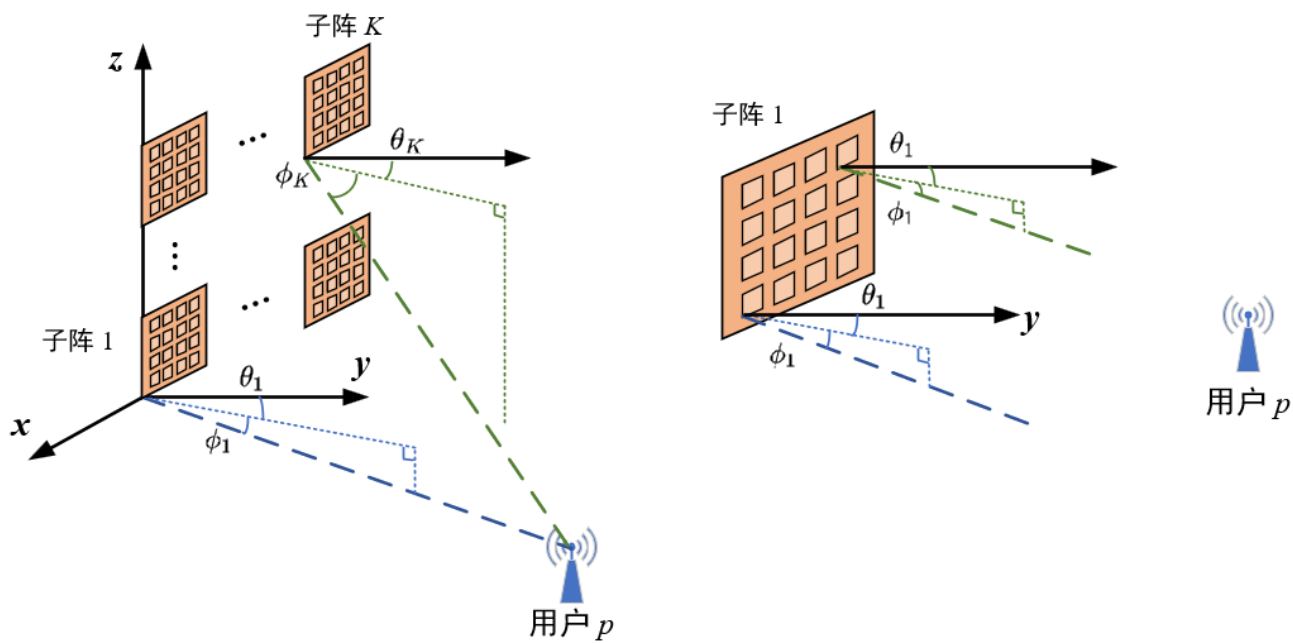
太赫兹模块化阵列定位方案

1 研究背景

现有 超高 频 超大 规模 阵列 定位 工作	<h3>基于 集中式 阵列</h3>  <p>阵元集中式分布于同一阵列</p>	<ul style="list-style-type: none">阵元紧密分布，阵列孔径受限， 获取空间角度信息有限。常见估计或阵列信号处理方法 对应矩阵运算规模大；考虑近场球面波估计与定位算 法，矩阵运算规模进一步增大。
	<h3>基于 分布式 阵列</h3>  <p>阵元分布于不同子阵 子阵于空间任意放置</p>	<ul style="list-style-type: none">子阵于空间任意放置， 子阵 间距并非波长的整数倍。各子阵位置相对分散，子阵 间数据交互需更多开销。各子阵的角度估计彼此独立， 未充分挖掘几何关系降低到 达角估计复杂度的作用。

2 系统模型

系统模型与假设



考虑太赫兹**上行**多载波信道估计与定位系统，
基站端**模块化超大规模阵列**由 K 个 $M_x \times M_z$ 的子阵构成，
接收 P 个单天线用户的导频信号。

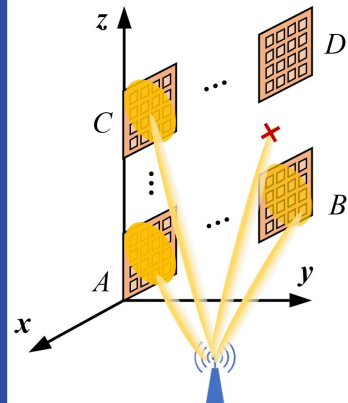
子阵间距 $D = 0.2\text{m}$ ，
中心频率 $f = 300\text{GHz}$ ，
子阵数 $K = 5 \times 5$ ，
每个子阵天线数 $M = 5 \times 5$ 。
单个子阵的瑞利距离：16mm；
模块化阵列整体的瑞利距离：2.56km；
用户到坐标原点的距离：约10m。

- **模块化阵列：**
子阵配置相同，均匀部署；
子阵间距远大于天线间距；
- **系统特性：**
子阵内天线到达角相同；
子阵间到达角不同；
子阵采用部分连接混合阵；
子阵和用户之间可能存在遮挡

3 现有算法及其问题

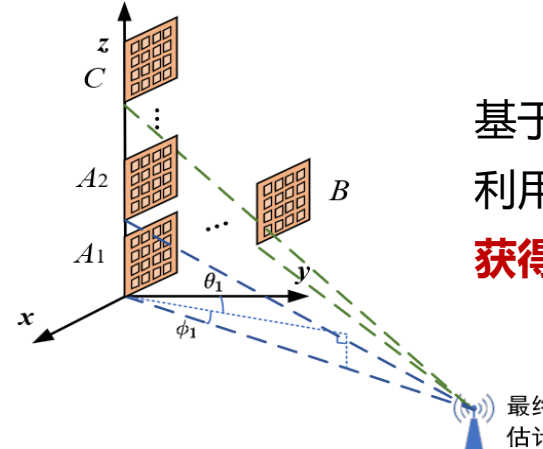
现有算法：

① 独立对各子阵做到达角估计



对各子阵独立做到达角估计，
角度范围为0-180°的全角度域，
对应码本矩阵规模较大，
估计全部子阵到达角复杂度较高。

② 融合角度信息获得位置估计



基于各子阵角度估计结果，
利用几何关系进行角度融合，
获得用户位置估计。

问题与改进：

存在问题

- 现有算法的子阵到达角估计彼此独立，空间几何关系未得到充分挖掘；
- 所有子阵的到达角估计都使用规模较大的码本矩阵进行，估计算法复杂度较高。

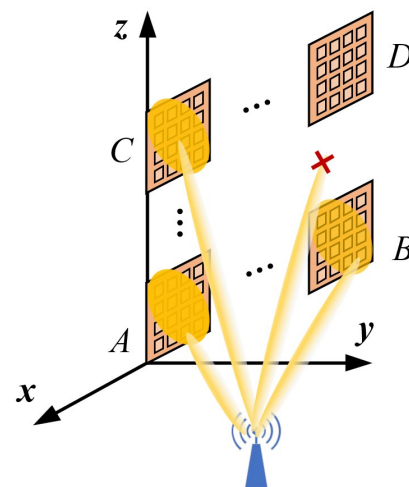
改进思路

- 先通过部分子阵的角度估计获得初步位置估计；
- 再通过几何关系限定其他子阵到达角可能范围；
- 多数子阵的到达角估计使用较小码本，在维持高定位精度的基础上有效降低算法复杂度；

太赫兹模块化阵列定位方案

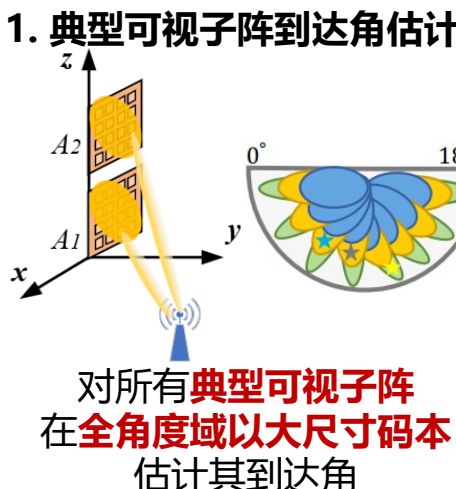
3 算法整体流程

① 基于接收信号强度的子阵分类

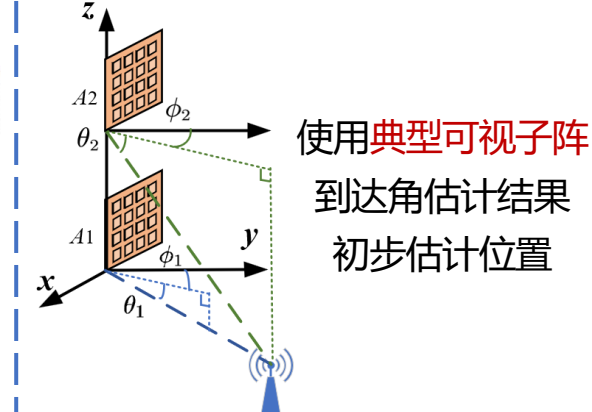


各子阵接收信号强度:
 $A > \dots > B > C > \dots > D$
归一化信号强度原则
子阵分类:
A: 典型可视子阵;
B, C: 非典型可视子阵;
D: 非可视子阵。

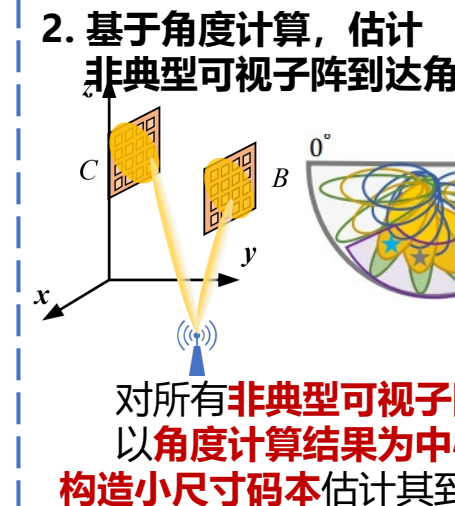
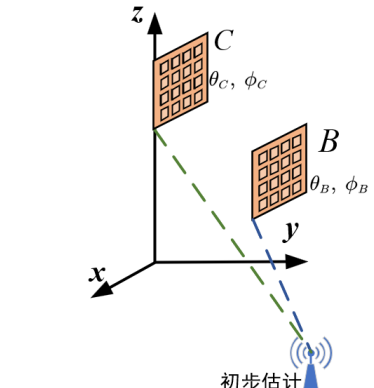
② 用户位置初步估计



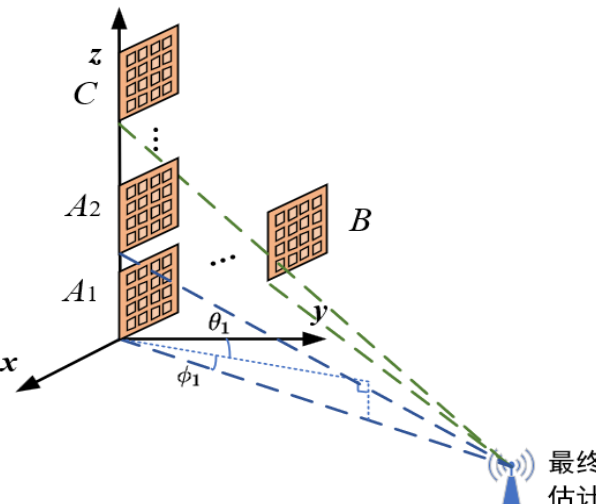
2. 基于WLS的用户位置估计



③ 非典型可视子阵到达角估计



④ 用户位置精确估计

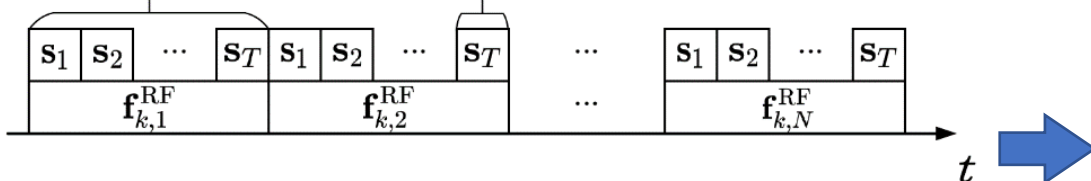


基于WLS的用户位置估计

使用所有可视子阵
到达角估计结果
修正位置估计
获得最终位置估计

4

步骤一：基于接收信号强度的子阵分类

导频
结构
设计

每个子阵的接收预编码变化N次以获取空域信道信息。
持续时间内，所有用户同时发送长度为T的导频序列

$$\begin{aligned}\mathbf{z}_{k,p} &\triangleq \mathbf{Y}_k \bar{\mathbf{s}}_p^* = (\bar{\mathbf{F}}_k^{\text{RF}})^H \sum_{q=1}^P \mathbf{h}_{k,q} \bar{\mathbf{s}}_q^T \bar{\mathbf{s}}_p^* + \bar{\mathbf{V}}_k \bar{\mathbf{s}}_p^* \\ &= (\bar{\mathbf{F}}_k^{\text{RF}})^H \mathbf{h}_{k,p} p_t + \bar{\mathbf{n}}_{k,p}.\end{aligned}$$

叠加子阵k在N次接收编码变化的所有接收信号，利用导频正交性获得 $\mathbf{z}_{k,p}$ ；
 $\mathbf{z}_{k,p}$ 仅含有用户p对子阵k的信道信息，完成**不同用户与子阵之间的解耦**。

基于
接收
信号
强度
的
子阵
分类

子阵分类目的：

- 超大规模阵列系统固有**空间非平稳特性**，阵列仅有**部分阵元**可以**有效接收**用户的导频信号；
- 部分子阵的对某用户接收信号强度**明显小于**其他子阵，可**推测二者间不存在LoS径**，故不作为定位锚点处理；
- 部分子阵的对某用户接收信号强度**相对大于**其他子阵，可**推测其对应角度估计精度更高，对应更可靠的位置粗估计**。

归一化接收信号强度原则：

$$\mathcal{K}_p = \left\{ k \mid \frac{\mathbf{e}_{p[k]} - \min(\mathbf{e}_p)}{\max(\mathbf{e}_p) - \min(\mathbf{e}_p)} > \psi \right\}, \psi \text{ 为预设的阈值}$$

$$\mathbf{e}_p = [\|\mathbf{z}_{1,p}\|_2, \|\mathbf{z}_{2,p}\|_2, \dots, \|\mathbf{z}_{K,p}\|_2]^T$$

■ **可视子阵**：归一化接收信号强度大于阈值的子阵；
认为其与用户之间存在直达径，
参与后续到达角估计与定位。

■ **典型可视子阵**：接收信号强度最大的若干锚点，
其到达角估计在第二步骤完成；
其到达角估计结果参与粗位置估计与精位置估计。

■ **非典型可视子阵**：其余可视子阵，
其到达角估计在第三步骤完成；
其到达角估计结果只参与精位置估计。



4

步骤二：用户位置初步估计

典型可视子阵到达角估计

1. 通过不同频带上的接收信号，将估计转化为块稀疏恢复问题：

$$\begin{aligned}\mathbf{z}_{k,p} &= p_t (\bar{\mathbf{F}}_k^{\text{RF}})^H \bar{\mathbf{A}}_{k,p} \bar{\boldsymbol{\beta}}_{k,p} + \bar{\mathbf{n}}_{k,p} \\ &= p_t \bar{\Xi}_{k,p} \bar{\boldsymbol{\beta}}_{k,p} + \bar{\mathbf{n}}_{k,p}, \quad \text{堆叠各频带信号} \\ \bar{\mathbf{z}}_{k,p} &= [\mathbf{z}_{k,p}^T[1], \mathbf{z}_{k,p}^T[2], \dots, \mathbf{z}_{k,p}^T[I]]^T \\ &= p_t \bar{\boldsymbol{\Theta}}_{k,p} \bar{\boldsymbol{\gamma}}_{k,p} + \bar{\boldsymbol{\omega}}_{k,p}, \quad \text{转化为块稀疏恢复} \\ \bar{\mathbf{z}}_{k,p} &= p_t (\bar{\boldsymbol{\Theta}}_{k,p} \mathbf{P}^T) (\mathbf{P} \bar{\boldsymbol{\gamma}}_{k,p}) + \bar{\boldsymbol{\omega}}_{k,p} \\ &= p_t \check{\boldsymbol{\Theta}}_{k,p} \check{\boldsymbol{\gamma}}_{k,p} + \bar{\boldsymbol{\omega}}_{k,p},\end{aligned}$$

2. 使用SOMP在整个角度域内估计直达径对应的AoA：

$$\mathbf{d} = \check{\boldsymbol{\Theta}}_{k,p}^H \bar{\mathbf{z}}_{k,p} \text{ 计算相关度}$$

$$\iota^* = \left\{ \iota \mid \max_{1 \leq \iota \leq I_k J_k} \sum_{s=(\iota-1)I+1}^I |\mathbf{d}_{[s]}| \right\},$$

获得角度估计

$$\hat{\omega}_{k,p}^{\text{BU}} = \omega_{i^*}, \hat{\varphi}_{k,p}^{\text{BU}} = \varphi_{j^*}, \iota^* = j^* + J_k(i^* - 1)$$



基于WLS的用户位置粗估计

使用典型可视子阵的到达角估计结果

1. 实际角度估计存在误差，引入空间几何关系的残差：

$$\begin{aligned}\delta_k^\theta &= -(x^U - x_k^B) \cos \hat{\theta}_k^{\text{BU}} + (y^U - y_k^B) \sin \hat{\theta}_k^{\text{BU}}, \\ \delta_k^\phi &= ((x^U - x_k^B) \sin \hat{\theta}_k^{\text{BU}} + (y^U - y_k^B) \cos \hat{\theta}_k^{\text{BU}}) \sin \hat{\phi}_k^{\text{BU}} \\ &\quad - (z^U - z_k^B) \cos \hat{\phi}_k^{\text{BU}}, \\ \delta_k^\theta &= \mathbf{g}_{\theta,k}^T (\mathbf{q}^U - \mathbf{q}^B) \approx \Delta \theta_k^{\text{BU}} d_k^{\text{BU}} \cos \phi_k^{\text{BU}}, \\ \delta_k^\phi &= \mathbf{g}_{\phi,k}^T (\mathbf{q}^U - \mathbf{q}^B) \approx \Delta \phi_k^{\text{BU}} d_k^{\text{BU}}.\end{aligned}$$

$$\tilde{\mathbf{G}} \tilde{\mathbf{q}}^U - \tilde{\mathbf{h}} = \tilde{\mathbf{D}} \mathbf{z}.$$

2. 将几何残差写成矩阵形式，对WLS误差求导获得位置的解：

$$\begin{aligned}C(\tilde{\mathbf{q}}^U) &= (\tilde{\mathbf{G}} \tilde{\mathbf{q}}^U - \tilde{\mathbf{h}})^T \mathbf{W} (\tilde{\mathbf{G}} \tilde{\mathbf{q}}^U - \tilde{\mathbf{h}}) \\ \tilde{\mathbf{q}}^U &= (\tilde{\mathbf{G}}^T \mathbf{W} \tilde{\mathbf{G}})^{-1} \tilde{\mathbf{G}}^T \mathbf{W} \tilde{\mathbf{h}}.\end{aligned}$$

$$\mathbf{W} = \mathbf{R}_e^{-1}, \mathbf{R}_e = \mathbb{E} \{ \tilde{\mathbf{D}} \mathbf{z} \mathbf{z}^T \tilde{\mathbf{D}}^T \} = \tilde{\mathbf{D}} \mathbf{R}_z \tilde{\mathbf{D}}^T.$$

初始化： $\mathbf{W} = \mathbf{I}$

重复：

1. 更新位置估计 $\check{\mathbf{q}}^U$
 2. 更新位置估计对应距离 d_k^{BU}
 3. 更新误差协方差与权重矩阵 $\tilde{\mathbf{D}}, \mathbf{W}$
- 至收敛。

太赫兹模块化阵列与定位方案

4

步骤三、四：用户位置估计修正

非典型可视子阵到达角估计

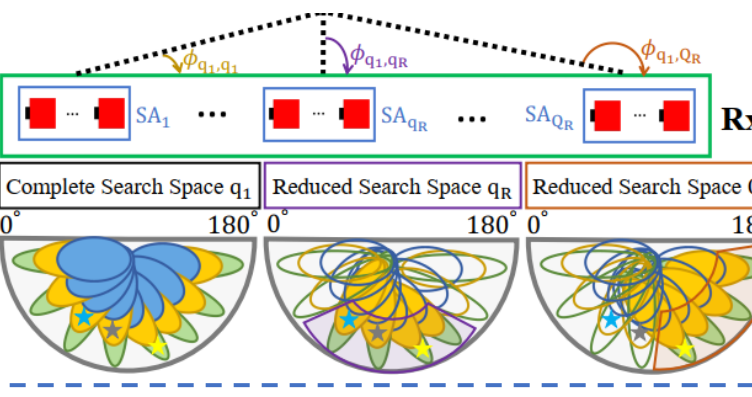
1. 根据粗位置估计

计算非典型可视子阵的到达角 $\omega_{\text{cal}}, \varphi_{\text{cal}}$ 并近似为最接近的原码本内角度 $\omega_{i^*}, \varphi_{j^*}$

2. 码本精简：对于每个非典型锚点，只保留以 $\omega_{i^*}, \varphi_{j^*}$ 为中心的码字。

$$\tilde{\mathbf{A}}_{k,p} = [\mathbf{b}_{M_s}(\omega_{i^* - \bar{i}}, \varphi_{j^* - \bar{j}}), \dots, \mathbf{b}_{M_s}(\omega_{i^* + \bar{i}}, \varphi_{j^* - \bar{j}}), \\ \mathbf{b}_{M_s}(\omega_{i^* - \bar{i}}, \varphi_{j^* - \bar{j} + 1}), \dots, \mathbf{b}_{M_s}(\omega_{i^* + \bar{i}}, \varphi_{j^* + \bar{j}})],$$

3. 使用精简后的码本对非典型可视子阵的到达角作估计



基于WLS的用户位置精估计

使用所有可视子阵的到达角估计结果

1. 实际角度估计存在误差，引入空间几何关系的残差：

$$\delta_k^\theta = -(x^U - x_k^B) \cos \hat{\theta}_k^{\text{BU}} + (y^U - y_k^B) \sin \hat{\theta}_k^{\text{BU}}, \\ \delta_k^\phi = ((x^U - x_k^B) \sin \hat{\theta}_k^{\text{BU}} + (y^U - y_k^B) \cos \hat{\theta}_k^{\text{BU}}) \sin \hat{\phi}_k^{\text{BU}} \\ - (z^U - z_k^B) \cos \hat{\phi}_k^{\text{BU}},$$

$$\delta_k^\theta = \mathbf{g}_{\theta,k}^T (\mathbf{q}^U - \mathbf{q}_k^B) \approx \Delta \theta_k^{\text{BU}} d_k^{\text{BU}} \cos \phi_k^{\text{BU}}, \\ \delta_k^\phi = \mathbf{g}_{\phi,k}^T (\mathbf{q}^U - \mathbf{q}_k^B) \approx \Delta \phi_k^{\text{BU}} d_k^{\text{BU}}.$$

$$\tilde{\mathbf{G}} \mathbf{q}^U - \tilde{\mathbf{h}} = \tilde{\mathbf{D}} \mathbf{z}.$$

2. 将几何残差写成矩阵形式，对WLS误差求导获得位置的解：

$$C(\tilde{\mathbf{q}}^U) = (\tilde{\mathbf{G}} \tilde{\mathbf{q}}^U - \tilde{\mathbf{h}})^T \mathbf{W} (\tilde{\mathbf{G}} \tilde{\mathbf{q}}^U - \tilde{\mathbf{h}}) \\ \tilde{\mathbf{q}}^U = (\tilde{\mathbf{G}}^T \mathbf{W} \tilde{\mathbf{G}})^{-1} \tilde{\mathbf{G}}^T \mathbf{W} \tilde{\mathbf{h}}.$$

$$\mathbf{W} = \mathbf{R}_e^{-1}, \mathbf{R}_e = \mathbb{E} \{ \tilde{\mathbf{D}} \mathbf{z} \mathbf{z}^T \tilde{\mathbf{D}}^T \} = \tilde{\mathbf{D}} \mathbf{R}_z \tilde{\mathbf{D}}^T.$$

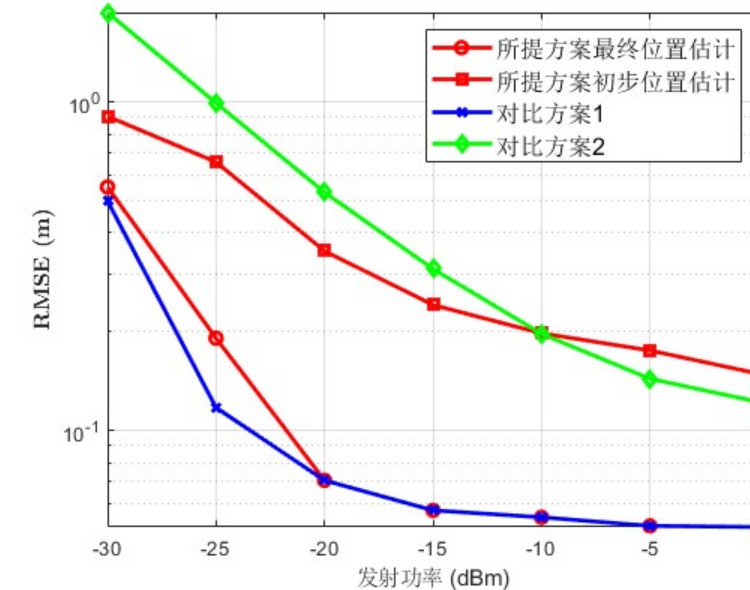
初始化： $\mathbf{W} = \mathbf{I}$

重复：

3. 将权重矩阵初始化为单位阵，迭代至收敛获得位置粗估计：

1. 更新位置估计 $\tilde{\mathbf{q}}^U$
2. 更新位置估计对应距离 d_k^{BU}
3. 更新误差协方差与权重矩阵 $\tilde{\mathbf{D}}, \mathbf{W}$ 至收敛。

5 仿真分析



所提方案：典型可视子阵数设为2；

对比方案一：所有可视子阵均独立进行SOMP到达角估计；

对比方案二：基于相同天线数的集中式阵列，使用2D-DFT做到达角估计。

方案	复杂度	计算时间
所提方案	$\mathcal{O}(K_{\text{Ref}} I_k J_k M_s NI)$	12.2886s
对比方案一	$\mathcal{O}(KI_k J_k M_s NI)$	120.4797s
对比方案二	$\mathcal{O}(G_x G_z MI)$	3.3654s

- 所提方案定位精度可达厘米级，且明显优于基于集中式阵列的方案二；
- 精位置估计相比粗位置估计有明显性能提升，且选择2-3个子阵为典型可视子阵的定位精度与对比方案一定位精度接近，已接近该框架下的“性能上界”；
- 选择2-3个子阵为典型可视子阵比对比方案一的计算时间降低近90%。

子阵间距 $D = 0.5\text{m}$ ，
中心频率 $f = 300\text{GHz}$ ，
阵元间距 $d = \lambda/2$ ；
子阵数 $K = 5 \times 5$ ，均与用户有直达径；
每个子阵天线数 $M = 5 \times 5$ 。



目录

1

太赫兹通信背景介绍

2

太赫兹信道测量

3

太赫兹近场信道自由度与稀疏阵列特性分析

4

太赫兹模块化阵列定位方案

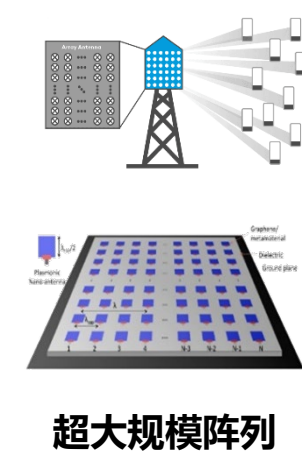
5

太赫兹低复杂度预编码方案

太赫兹低复杂度预编码方案

1 研究背景

计算复杂度上升



超大规模阵列

天线/用户数量激增

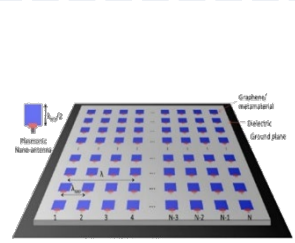
- 在太赫兹频段中, **超大规模阵列**的应用使得天线阵列**元素个数庞大**
- 在**用户密集**的通信热点场景, **用户数量庞大**

计算复杂度上升

- 设计线性预编码的**计算复杂度急剧上升** $O(N_t K^2 + K^3)$
- 基站端难以负担**高昂计算成本**

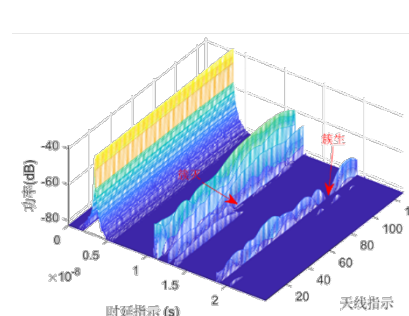
亟需设计**低复杂度**混合预编码算法

空间非平稳特性



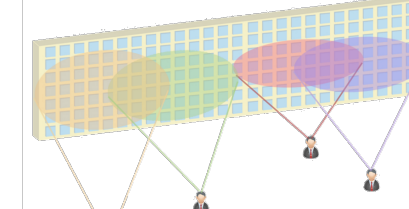
超大规模阵列
阵列尺寸较大

- 信号传输路径存在:
- 部分遮挡
 - 不完全反射
 - 球面波特性



信道存在**空间非平稳**特性

信道矩阵
维度巨大



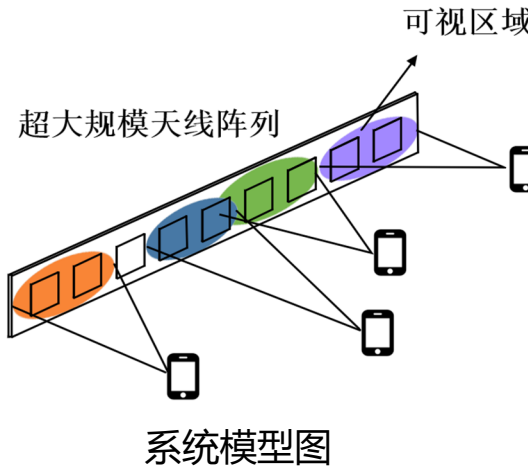
用户只能接收到来自**部分天线**的信号 (**可视区域**)

有效识别用户
可视区域

有效利用空间非平稳性
大幅度降低**计算复杂度**

2

系统模型



考虑一个**下行基于超大规模天线阵列的多用户系统**

基站端配备有 N_t 根天线的超大规模均匀线性阵列，可同时为 K 个单天线用户提供数据传输服务。

考虑空间非平稳特性，第 k 个用户的信道向量 \mathbf{h}_k 可被修正为：

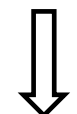
$$\mathbf{h}_k = \tilde{\mathbf{h}}_k \square \mathbf{u}_k,$$

\mathbf{u}_k 为用户可视区域的指示向量

$$[\mathbf{u}_k]_n = \begin{cases} 1, & \text{if } \left\lceil \frac{nS}{N_t} \right\rceil \in \mathbb{M}_k, \\ 0, & \text{else,} \end{cases}$$

第 k 个用户接收到的信号可表示为： $y_k = \sqrt{\rho} \mathbf{h}_k^H \mathbf{F} \mathbf{s} + n_k$,

其中， ρ 为天线平均发射功率， \mathbf{F} 为预编码矩阵， \mathbf{s} 为基站端传输信号， n_k 为噪声信号



正则化迫零预编码(RZF)

计算复杂度

$$\mathbf{F}^{\text{RZF}} = \beta \mathbf{H} (\mathbf{H}^H \mathbf{H} + \xi \mathbf{I}_K)^{-1}, \quad \xrightarrow{\quad} \mathcal{O}(N_t K^2 + K^3)$$

其中， $\mathbf{H} = [\mathbf{h}_1, \dots, \mathbf{h}_K]$ ， β 为功率归一化因子， $\xi = \frac{\sigma^2}{\rho}$ 为正则化因子



3 传统算法设计

迭代求解RZF预编码框架

$$\text{用户接收信号可被重写为: } \mathbf{y} = \mathbf{H}^H \mathbf{F}^H \mathbf{s} + \mathbf{n} = \beta \mathbf{H}^H \mathbf{H} (\mathbf{H}^H \mathbf{H} + \xi \mathbf{I}_K)^{-1} \mathbf{s} + \mathbf{n}$$

$$= \beta \mathbf{H}^H \mathbf{H} \mathbf{v} + \mathbf{n},$$

其中, $\mathbf{v} = (\mathbf{H}^H \mathbf{H} + \xi \mathbf{I}_K)^{-1} \mathbf{s}$ RZF预编码设计可等效为寻找辅助向量 \mathbf{v}

$$\mathbf{v} = \arg \min_{\mathbf{v}} \|\mathbf{G}\mathbf{v} - \mathbf{g}\|_2^2$$

$$\text{其中, } \mathbf{G} = [\mathbf{H}; \sqrt{\xi} \mathbf{I}_K], \mathbf{g} = [\mathbf{0}; \frac{\mathbf{s}}{\sqrt{\xi}}]$$

等效为最小二乘问题

\mathbf{g} 可进一步分解为:

$$\mathbf{g} = \mathbf{w} + \boldsymbol{\psi},$$

其中, $\mathbf{w} \in \mathbb{R}(\mathbf{G})$,

$$\boldsymbol{\psi} \in \mathbb{R}(\mathbf{G})^\perp = \mathbb{K}(\mathbf{G}^H)$$

$$\mathbf{G}^H \mathbf{w} = \mathbf{G}^H (\mathbf{g} - \boldsymbol{\psi}) = \mathbf{G}^H \mathbf{g} = \mathbf{s}.$$

首先估计出位于列空间 $\mathbb{C}(\mathbf{G})$ 上的 \mathbf{w}

再代入 $\mathbf{G}\mathbf{v} = \mathbf{w}$ 恢复 \mathbf{v}

$$\begin{cases} \mathbf{G}^H \mathbf{w} = \mathbf{s}, \\ \mathbf{G}\mathbf{v} = \mathbf{w}. \end{cases}$$

可利用Kaczmarz算法迭代解线性方程组

随机化Kaczmarz算法

方程组 $\mathbf{A}\mathbf{x} = \mathbf{b}$, 算法的基本原理是将当前迭代的解向量投射到矩阵的某一行定义的超平面

$$\mathbf{x}^{(t+1)} = \mathbf{x}^{(t)} + \frac{b_i - \mathbf{a}_i^H \mathbf{x}^{(t)}}{\|\mathbf{a}_i^H\|_2^2} \mathbf{a}_i.$$

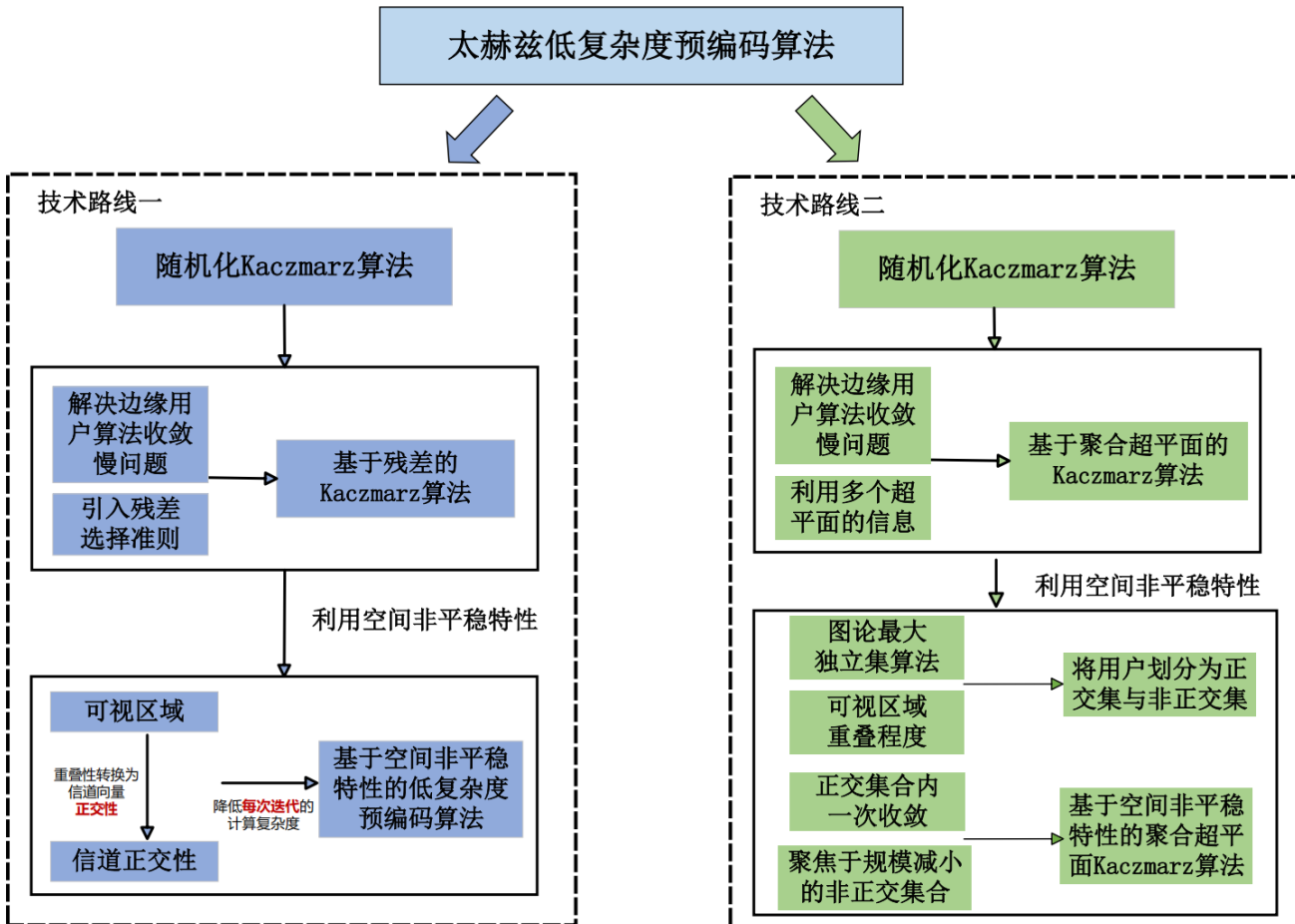
其中, 每次迭代的行选取可根据一个预先定义好的概率分布, 通常使用能量准则, 即 $p_i = \|\mathbf{a}_i^H\|_2^2 / \|\mathbf{A}\|_F^2$.

如果直接应用传统基于能量准则的Kaczmarz算法, 会存在以下问题:

- 在连续多次迭代中, 总是选取能量较大的用户, 能量较小的用户很难被选取, 大大减慢收敛速度
- 当系统内用户能量大小相似时, 收敛速度较慢

太赫兹低复杂度预编码方案

整体研究框架



研究思路

技术路线一:

- 引入**残差选择**准则, 提出基于残差的Kaczmarz算法
- 将用户可视区域的**重叠性转化为正交性**, 进一步降低每次迭代的计算复杂度

技术路线二:

- 同时利用**多个超平面的信息**, 提出基于聚合超平面的Kaczmarz算法
- 利用**图论最大独立集算法**, 将用户划分为正交集与非正交集, 进一步加速算法收敛

太赫兹低复杂度预编码方案

4

技术路线一：基于残差的低复杂度预编码算法

基于残差的低复杂度预编码算法：

传统基于**能量准则**的Kaczmarz算法更新准则：

$$\mathbf{x}^{(t+1)} = \mathbf{x}^{(t)} + \frac{b_i - \mathbf{a}_i^H \mathbf{x}^{(t)}}{\|\mathbf{a}_i^H\|_2^2} \mathbf{a}_i.$$

其中，每次迭代的行选取可根据一个预先定义好的概率分布，通常使用**能量准则**，即 $p_i = \|\mathbf{a}_i^H\|_2^2 / \|\mathbf{A}\|_F^2$.

改进算法

- 在每次迭代中，计算当前解向量与所有超平面的**残差值**，即 $\mathbf{r}^{(t)} = \mathbf{b} - \mathbf{A}\mathbf{x}^{(t)}$
- 在下一次迭代时，选取**残差相对较大的**超平面进行投影
 $\mathbf{p}_i = |\mathbf{r}_i|^2 / \|\mathbf{r}\|_2^2$, 其中, $\mathbf{r}_i^{(t)} = b_i - \mathbf{a}_i^H \mathbf{x}^{(t)}$

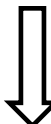


通过将解向量投影到残差较大的超平面上，可以大大**加速算法的收敛**，有效解决之前的存在问题



存在问题

在每次迭代过程需要计算当前解向量与所有超平面残差值。会在每次迭代中**引入额外复杂度** $\mathcal{O}(N_t K)$



利用空间非平稳特性

进一步**降低**每一次迭代过程引入的**额外复杂度**



4

技术路线一：基于空间非平稳特性的低复杂度算法

基于空间非平稳特性的预编码算法：

引理 1：如果用户 i 和用户 j 的可视区域不重叠，则这两个用户之间的信道向量可以被认为是相互正交的



定理 1：当线性方程组 $\mathbf{Ax} = \mathbf{b}$ 由 Kaczmarz 算法迭代求解时，在第 t 次迭代中，如果选择了第 i 行，则与第 i 行正交的行对应的残差将保持不变，即 $\mathbf{r}_j^{(t+1)} = \mathbf{r}_j^{(t)}$, if $\mathbf{a}_j^H \mathbf{a}_i = 0$

每次迭代计算残差时，只需要计算 X_k 对应的残差

$$\mathcal{O}(N_t K) \longrightarrow \mathcal{O}(N_t |X_k|)$$

4

技术路线一：算法收敛性分析

收敛性分析：

所提算法的收敛性由下式给出：

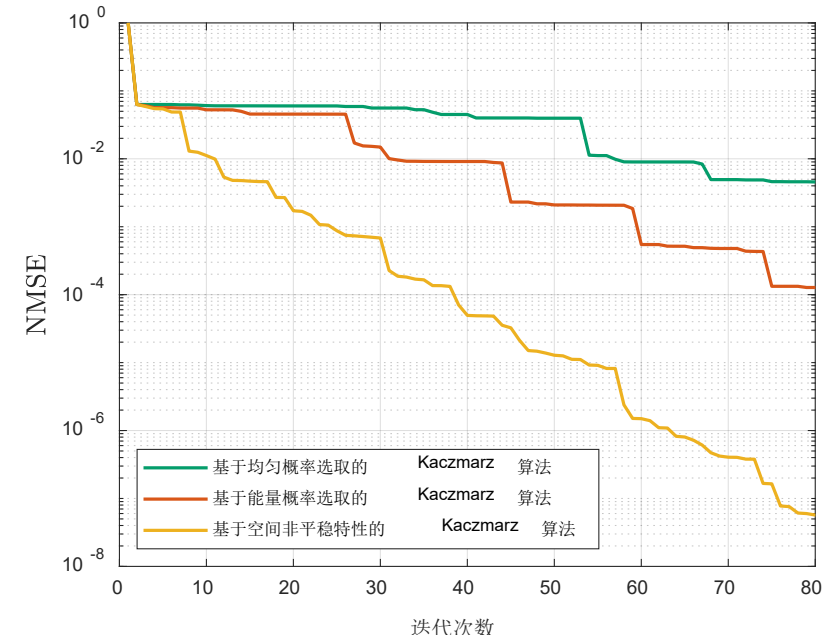
$$E[\| \mathbf{x}^{(t+1)} - \mathbf{x}^* \|_2^2] \leq \eta^{t+1} \| \mathbf{x}^{(0)} - \mathbf{x}^* \|_2^2$$

$$\text{其全局收敛率为: } \eta = 1 - \frac{\sigma_{\min}^+(A)}{\| A \|_F^2} < 1, \quad \sigma_{\min}^+(A) = \min_{\mathbf{x} - \mathbf{x}^* \in \mathcal{R}(A^H), \mathbf{x} \neq \mathbf{x}^*} \frac{\| A(\mathbf{x} - \mathbf{x}^*) \|_2}{\| \mathbf{x} - \mathbf{x}^* \|_2}$$

证明：

$$\begin{aligned} E[\| \mathbf{x}^{(t+1)} - \mathbf{x}^* \|_2^2] &= \| \mathbf{x}^{(t)} - \mathbf{x}^* \|_2^2 - E[\| \mathbf{x}^{(t+1)} - \mathbf{x}^{(t)} \|_2^2] \\ &= \| \mathbf{x}^{(t)} - \mathbf{x}^* \|_2^2 - \sum_{i=1}^M \frac{|r_i|^2}{\| \mathbf{r}^{(t)} \|_2^2} \frac{|b_i - \mathbf{a}_i^H \mathbf{x}^{(t)}|^2}{\| \mathbf{a}_i^H \|^2_2} \\ &= \| \mathbf{x}^{(t)} - \mathbf{x}^* \|_2^2 - \frac{1}{\| \mathbf{r}^{(t)} \|_2^2} \sum_{i=1}^M \frac{|r_i|^4}{\| \mathbf{a}_i^H \|^2_2} \\ &\leq \| \mathbf{x}^{(t)} - \mathbf{x}^* \|_2^2 - \frac{1}{\| \mathbf{r}^{(t)} \|_2^2} \sum_{i=1}^M \frac{|r_i|^4}{\sum_{i=1}^M \| \mathbf{a}_i^H \|^2_2} = \| \mathbf{x}^{(t)} - \mathbf{x}^* \|_2^2 - \frac{\| \mathbf{A}(\mathbf{x}^{(t)} - \mathbf{x}^*) \|_2^2}{\| \mathbf{A} \|_F^2} \leq \left(1 - \frac{\kappa^2(\mathbf{A})}{\| \mathbf{A} \|_F^2}\right) \| \mathbf{x}^{(t)} - \mathbf{x}^* \|_2^2, \end{aligned}$$

其中, $\kappa(\mathbf{A}) = \min_{\mathbf{x} - \mathbf{x}^* \in \mathcal{R}(\mathbf{A}^H)} \frac{\| \mathbf{A}(\mathbf{x} - \mathbf{x}^*) \|_2}{\| \mathbf{x} - \mathbf{x}^* \|_2}$



归一化误差比较图

- 所提算法收敛速度远快于传统基于均匀概率

选取和基于能量概率选取的Kaczmarz算法



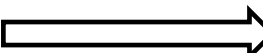
5

技术路线二：基于聚合超平面的低复杂度预编码算法

基于聚合超平面的低复杂度预编码算法：

随机化Kaczmarz算法更新准则：

$$\mathbf{x}^{(t+1)} = \mathbf{x}^{(t)} + \frac{b_i - \mathbf{a}_i^H \mathbf{x}^{(t)}}{\|\mathbf{a}_i^H\|_2^2} \mathbf{a}_i.$$



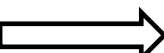
其中，每次迭代的行选取可根据预先定义好的概率分布

- 在传统的随机化Kaczmarz算法在每次迭代中仅使用来自**单个超平面**（用户信道向量）的信息
- 在技术路线一提出的基于残差的低复杂度预编码算法中，每次迭代需存储所有用户的**残差值**，未能充分利用这些信息

同时利用**多个超平面**的信息利用预设权重生成**聚合超平面**：

$$(\boldsymbol{\varphi}^{(t)})^H \mathbf{A} \mathbf{x} = (\boldsymbol{\varphi}^{(t)})^H \mathbf{b}.$$

其中， $\boldsymbol{\varphi}^{(t)}$ 是当前迭代中权重系数，当 $\boldsymbol{\varphi}^{(t)} = \mathbf{e}_i$ ，
算法退化为基于残差的低复杂度预编码算法
(技术路线一)

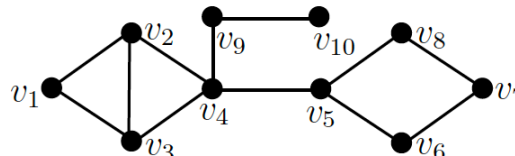
利用每次迭代过程产生的**残差值**作为**生成权重**：

$$[\boldsymbol{\varphi}^{(t)}]_i = \frac{b_i - \mathbf{a}_i^H \mathbf{x}^{(t)}}{\|\mathbf{a}_i^H\|_2^2}, \forall i \in [1, M].$$

$$\begin{aligned} \mathbf{x}^{(t+1)} &= \mathbf{x}^{(t)} + \frac{(\boldsymbol{\varphi}^{(t)})^H (\mathbf{b} - \mathbf{A} \mathbf{x}^{(t)})}{\|\mathbf{A}^H \boldsymbol{\varphi}^{(t)}\|_2^2} \mathbf{A}^H \boldsymbol{\varphi}^{(t)} \\ &= \mathbf{x}^{(t)} + \frac{(\boldsymbol{\varphi}^{(t)})^H \mathbf{r}^{(t)}}{\|\mathbf{A}^H \boldsymbol{\varphi}^{(t)}\|_2^2} \mathbf{A}^H \boldsymbol{\varphi}^{(t)}, \end{aligned}$$

5 技术路线二：基于空间非平稳特性的聚合超平面Kaczmarz算法

基于空间非平稳特性的聚合超平面Kaczmarz算法：



基于用户可视区域重叠程度
构建用户关系图

$$\begin{aligned} \max \quad & |\mathcal{F}| \\ \text{s.t.} \quad & \mathcal{F} \subseteq V, \\ & (v_i, v_j) \notin E, \forall v_i, v_j \in \mathcal{F} \end{aligned}$$

基于图论最大独立集问题
构建用户正交集合

将用户分解成正交集合和非正交集合
两个用户组

- 轮流应用基于聚合超平面的预编码算法于正交集合和非正交集合
- 当所提基于聚合超平面低复杂度预编码算法应用于正交用户组时，迭代算法仅需一次迭代即可完成收敛
- 聚焦于小规模的非正交集合，降低复杂度

算法更新准则：

$$\begin{aligned} \mathbf{x}^{\left(t+\frac{1}{2}\right)} &= \mathbf{x}^{(t)} + \frac{(\boldsymbol{\varphi}^{\text{or}(t)})^H \mathbf{r}^{\text{or}(t)}}{|\mathbf{A}^H \boldsymbol{\varphi}^{\text{or}(t)}|^2} \mathbf{A}^H \boldsymbol{\varphi}^{\text{or}(t)}, \\ \mathbf{x}^{(t+1)} &= \mathbf{x}^{\left(t+\frac{1}{2}\right)} + \frac{(\boldsymbol{\varphi}^{\text{nor}(t)})^H \mathbf{r}^{\text{nor}(t)}}{|\mathbf{A}^H \boldsymbol{\varphi}^{\text{nor}(t)}|^2} \mathbf{A}^H \boldsymbol{\varphi}^{\text{nor}(t)}, \end{aligned}$$

5

技术路线二：算法收敛性分析

收敛性分析：

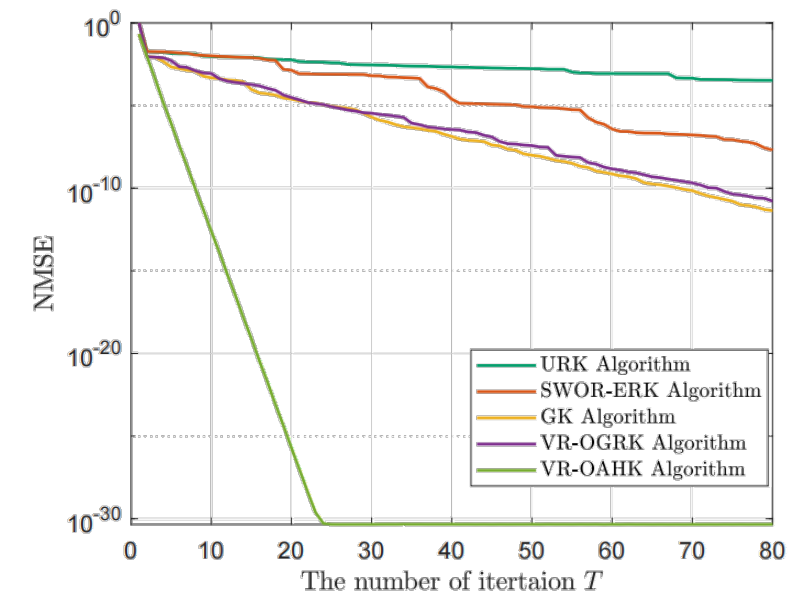
所提算法的收敛性由下式给出：

$$\|\mathbf{x}^{(t+1)} - \mathbf{x}^*\|_2^2 \leq \alpha^{2t} \|\mathbf{x}^{(0)} - \mathbf{x}^*\|_2^2,$$

其全局收敛率为： $\alpha = \left(1 - \frac{\vartheta \mathbf{P} \vartheta^H}{\vartheta \vartheta^H}\right) < 1$, $\vartheta = \mathbf{A}^H \Phi^T \mathbf{A} \mathbf{e}^{\left(t+\frac{1}{2}\right)}$, $\mathbf{P} = \frac{\mathbf{e}^{\left(t+\frac{1}{2}\right)} \left(\mathbf{e}^{\left(t+\frac{1}{2}\right)}\right)^H}{\left(\mathbf{e}^{\left(t+\frac{1}{2}\right)}\right)^H \mathbf{e}^{\left(t+\frac{1}{2}\right)}}$, $\mathbf{e}^{\left(t+\frac{1}{2}\right)} = \mathbf{x}^{\left(t+\frac{1}{2}\right)} - \mathbf{x}^*$.

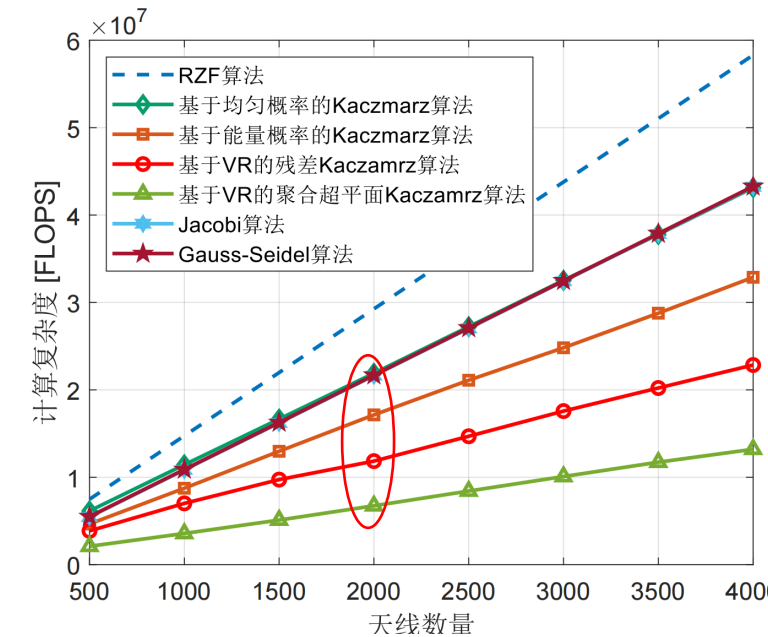
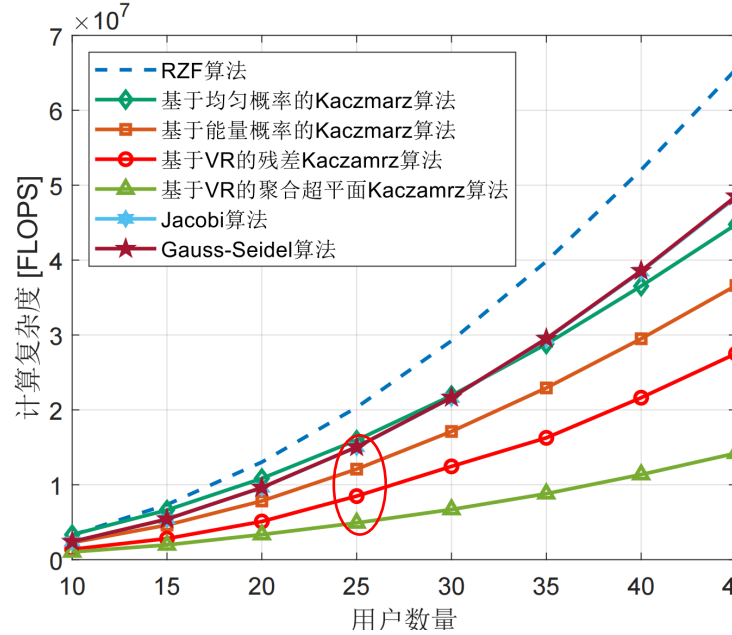
$$\begin{aligned} \text{证明: } \|\mathbf{e}^{(t+1)}\|_2^2 &= \|\mathbf{e}^{\left(t+\frac{1}{2}\right)}\|_2^2 - \|\mathbf{x}^{(t+1)} - \mathbf{x}^{\left(t+\frac{1}{2}\right)}\|_2^2 \\ &= \|\mathbf{e}^{\left(t+\frac{1}{2}\right)}\|_2^2 - \frac{\left(\mathbf{e}^{\left(t+\frac{1}{2}\right)}\right)^H \mathbf{A}^H \varphi^{\text{nor}(t)} (\varphi^{\text{nor}(t)})^H \mathbf{A} \mathbf{e}^{\left(t+\frac{1}{2}\right)}}{\|\mathbf{A}^H \varphi^{\text{nor}(t)}\|_2^2} \\ &= \|\mathbf{e}^{\left(t+\frac{1}{2}\right)}\|_2^2 - \frac{\left(\mathbf{e}^{\left(t+\frac{1}{2}\right)}\right)^H \mathbf{A}^H \Phi \mathbf{A} \mathbf{e}^{\left(t+\frac{1}{2}\right)} \mathbf{A} \mathbf{e}^{\left(t+\frac{1}{2}\right)} \left(\mathbf{e}^{\left(t+\frac{1}{2}\right)}\right)^H \mathbf{A}^H \Phi \mathbf{A} \mathbf{e}^{\left(t+\frac{1}{2}\right)} \mathbf{A} \mathbf{e}^{\left(t+\frac{1}{2}\right)}}{\left(\mathbf{e}^{\left(t+\frac{1}{2}\right)}\right)^H \mathbf{A}^H \Phi^T \mathbf{A} \mathbf{A}^H \Phi^T \mathbf{A} \mathbf{e}^{\left(t+\frac{1}{2}\right)}} \\ &= \left(1 - \frac{\left(\left(\mathbf{e}^{\left(t+\frac{1}{2}\right)}\right)^H \mathbf{A}^H \Phi \mathbf{A} \mathbf{e}^{\left(t+\frac{1}{2}\right)} \mathbf{A} \mathbf{e}^{\left(t+\frac{1}{2}\right)}\right)^2}{\left(\mathbf{e}^{\left(t+\frac{1}{2}\right)}\right)^H (\mathbf{A}^H \Phi^T \mathbf{A})^2 \mathbf{e}^{\left(t+\frac{1}{2}\right)} \left(\mathbf{e}^{\left(t+\frac{1}{2}\right)}\right)^H \mathbf{e}^{\left(t+\frac{1}{2}\right)}}\right) \|\mathbf{e}^{\left(t+\frac{1}{2}\right)}\|_2^2 \\ &= \left(1 - \frac{\vartheta \mathbf{P} \vartheta^H}{\vartheta \vartheta^H}\right) \|\mathbf{e}^{\left(t+\frac{1}{2}\right)}\|_2^2 \end{aligned}$$

$$\begin{aligned} \|\mathbf{x}^{(t+1)} - \mathbf{x}^*\|_2^2 &\leq \alpha \|\mathbf{x}^{\left(t+\frac{1}{2}\right)} - \mathbf{x}^*\|_2^2 \\ &\leq \alpha^2 \|\mathbf{x}^{(t)} - \mathbf{x}^*\|_2^2 \leq \alpha^{2t} \|\mathbf{x}^{(0)} - \mathbf{x}^*\|_2^2, \end{aligned}$$

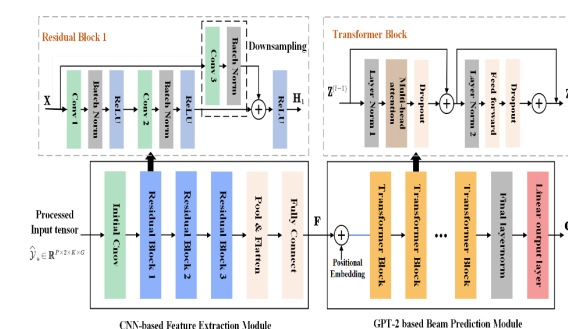
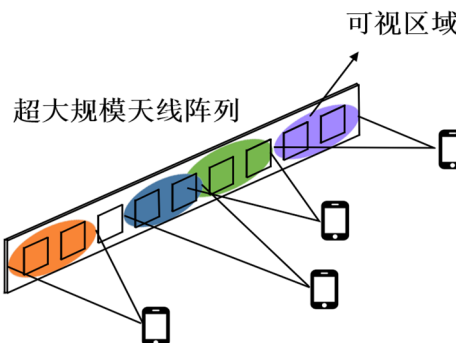
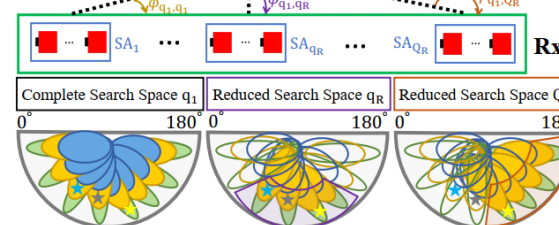
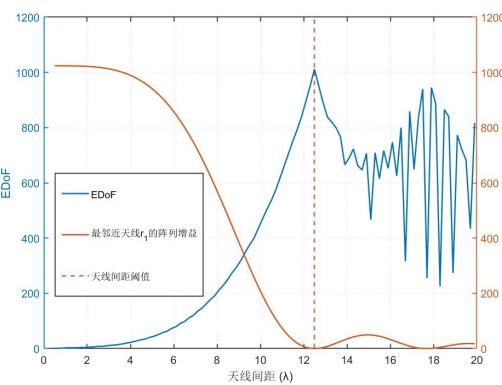
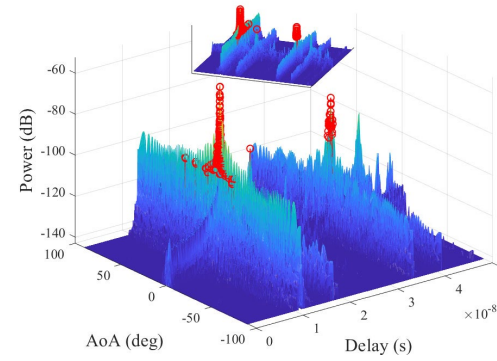
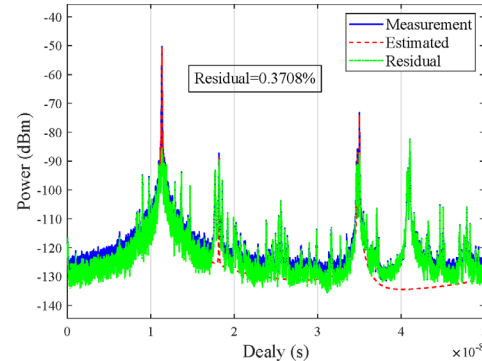


- 所提算法收敛速度大于基于残差的Kacmarz算法
(技术路线一)

6 仿真分析

仿真
结果

- 在**计算复杂度**方面，所提基于残差的低复杂度预编码算法和基于聚合超平面的低复杂度预编码算法**显著低于**RZF预编码和传统迭代类预编码算法。



太赫兹信道特性验证

- 使用基于矢量网络分析仪扩频的频域测量系统
- 测量并分析太赫兹室内会议室场景信道特性

太赫兹近场信道自由度与稀疏阵列特性分析

- 推导最大化信道有效自由度的天线间距阈值
- 解释了天线间距超过阈值后 EDoF 下降的原因

太赫兹模块化阵列定位方案

- 提出基于模块化阵列的定位方案
- 实现高精度低复杂度定位性能

完成超高维度混合波束成形设计

- 提出基于空间非平稳特性的预编码算法
- 计算复杂度显著低于RZF和传统Kaczmarz算法

2025年度RISTA前沿大讲堂

谢谢各位
敬请批评指正

报告人：潘存华

东南大学移动通信全国重点实验室

2025-11-23



Email: cpan@seu.edu.cn



附录

离线设计迭代预编码：

$$\begin{aligned} \text{用户接收信号为: } \mathbf{y} &= \mathbf{H}^H \mathbf{F}^H \mathbf{RZF} \mathbf{s} + \mathbf{n} = \beta \mathbf{H}^H \mathbf{H} (\mathbf{H}^H \mathbf{H} + \xi \mathbf{I}_K)^{-1} \mathbf{s} + \mathbf{n} \\ &= \beta \mathbf{H}^H \mathbf{H} \mathbf{v} + \mathbf{n}, \\ \mathbf{v} &= (\mathbf{H}^H \mathbf{H} + \xi \mathbf{I}_K)^{-1} \mathbf{s} \end{aligned}$$

通过**所提低复杂度算法**，可以快速求解 \mathbf{v}



若将RZF预编码设计问题**简单等效**为寻找**辅助向量** \mathbf{v}
则存在如下问题：

- 向量 \mathbf{s} 随发送数据不同而变化，需要在每次发送数据前重新设计等效辅助向量 \mathbf{v} ，复杂度较高。

需改进算法以设计得到预编码矩阵 \mathbf{F}
(不随数据向量变化，仅与信道相关)

离线设计

根据用户接收信号，有如下关系式：

$$\mathbf{Hv} = \mathbf{Fs}$$

离线状态求解方程

设置数据信号为 $\mathbf{s}_k = \mathbf{e}_k \in \mathbb{C}^{K \times 1}$
并行 (互不干扰) 运行所提算法求解 K 次
得到 K 个辅助向量 $[\mathbf{v}_1, \dots, \mathbf{v}_K]$

求解得到**预编码矩阵**

$$\mathbf{H} \times [\mathbf{v}_1, \dots, \mathbf{v}_K] = \mathbf{F} \times [\mathbf{e}_1, \dots, \mathbf{e}_K] = \mathbf{FI} = \mathbf{F}.$$

在离线状态下设计的预编码矩阵，可在
相干时间内使用，**无需重复设计**